



**conseils pratiques pour la réalisation
de traçages
détermination des paramètres hydrodispersifs
d'un aquifère**

C. Bouchet

**octobre 1990
R 31 547**

A V A N T - P R O P O S

La réalisation de traçage en vue de déterminer les caractéristiques hydrodispersives d'un aquifère est une activité actuellement peu développée au sein du BRGM, généralement sous-traitée à l'extérieur à des organismes spécialisés tel que le CENG (Centre d'Etudes Nucléaires de Grenoble).

Les expérimentations de traçage peuvent présenter des caractéristiques très variées et s'avérer plus ou moins complexes à mettre en oeuvre selon les problèmes posés.

En ce qui concerne par exemple les multitraçages complexes, l'instrumentation et l'expérience d'organismes spécialisés semblent actuellement irremplaçables.

A l'inverse, les moyens et compétences existant au BRGM permettent, au minimum, de réaliser des traçages simples, par exemple une injection en écoulement radial convergent, en utilisant une méthodologie identique à celle appliquée par les organismes spécialisés.

Le type d'expérimentation précité représente un marché important dans les études de protection des eaux.

Les raisons nous incitant à réaliser ces opérations par nos propres moyens plutôt que par une sous-traitance systématique sont :

- des coûts moindres (pour des traçages simples),*
- l'absence de délais contraignants,*
- la possibilité de coupler la vente et la mise en oeuvre d'un traçage à celui d'un pompage d'essai.*

La présente note, à usage strictement interne, a pour objet de présenter une ébauche de mode opératoire concernant la réalisation de traçages dans des cas simples. Elle a été établie à partir d'une expérience de quelques traçages réalisés à l'agence BRGM Bourgogne. Elle ne prétend en aucun cas traiter le sujet de façon exhaustive. Toutes critiques, suggestions et remarques constructives de la part des personnes ayant une expérience sur le sujet seront bien venues.

Cette note a été réalisée à l'occasion d'un contrat pour tiers géré par le Département de l'Eau et a bénéficié de l'appui de la formation professionnelle.

S O M M A I R E

1 - RAPPELS SUR LA FINALITE ET LE PRINCIPE DES TRACAGES ARTIFICIELS.	1
1.1. - Finalités des traçages artificiels.....	1
1.2. - Paramètres d'hydrodispersion.....	2
1.3. - Principe des traçages en milieux poreux en vue de déterminer les paramètres hydrodispersifs d'un aquifère..	2
1.4. - Traçages en écoulement radial convergent.....	3
1.5. - Traçages en écoulement naturel uniforme.....	5
1.6. - Traceurs utilisés.....	6
2 - CONCEPTION ET DIMENSIONNEMENT D'UNE OPERATION DE TRACAGE.....	7
3 - MISE EN OEUVRE DU TRACAGE.....	9
3.1. - Préparation préalable à l'injection.....	9
3.2. - Injection du traceur.....	10
3.3. - Suivi de la restitution.....	12
4 - INTERPRETATION DES RESULTATS.....	14
4.1. - Gestion des données.....	14
4.2. - Calculs des paramètres hydrodispersifs.....	14
REFERENCES BIBLIOGRAPHIQUES.....	15
ANNEXE 1 : Rappels sur la notion de dispersivité d'un milieu poreux.	17
ANNEXE 2 : Valeur des paramètres hydrodispersifs selon les différents types d'aquifères.....	19
ANNEXE 3 : Rappel théorique sur les transferts en écoulement radial.	22
ANNEXE 4 : Références et coûts de fournitures et prestations liées aux traçages.....	33
ANNEXE 5 : Illustration des possibilités du logiciel CATTI et exemple d'application.....	35
ANNEXE 6 : Exemples de traçages réalisés à l'Agence BRGM Bourgogne..	37

1 - RAPPELS SUR LA FINALITE ET LE PRINCIPE DES TRACAGES ARTIFICIELS

1 - FINALITE DES TRACAGES ARTIFICIELS

Le marquage des eaux souterraines par des traceurs artificiels peut être utilisé à des fins plus ou moins différentes, selon la nature des aquifères considérés et le type de problème à résoudre. Généralement, les traçages sont réalisés pour :

- tester l'existence hypothétique d'une relation hydraulique entre deux points,
- mesurer une vitesse de circulation des eaux souterraines,
- déterminer les capacités d'un aquifère, à déformer un signal d'entrée à partir de l'étude de la distribution des temps de séjour (DTS),
- déterminer les caractéristiques hydrodispersives d'un aquifère et par là-même les modalités selon lesquelles un produit soluble, non interactif avec le milieu, va se propager dans le temps et dans l'espace, dans un aquifère isotrope et continu.

Les trois premiers points concernent essentiellement l'hydrogéologie des milieux fissurés et les aquifères karstiques tout particulièrement.

Le quatrième point concerne le milieu poreux, ainsi que les milieux fissurés pour lesquels l'échelle d'étude permet une assimilation du milieu à un milieu "poreux équivalent". Ce sont les traçages concernant ce dernier point, et lui seul, qui font l'objet de la présente note.

Les problèmes d'ingénierie nécessitant ce type d'information sont :

- la détermination rationnelle des périmètres de protection,
- l'étude de la propagation de pollutions souterraines existantes ou potentielles,
- les dimensionnements de puits de dépollution et barrages hydrauliques à la pollution.

Remarque : Des traçages artificiels peuvent également être réalisés à partir de traceurs interactifs avec le milieu pour quantifier des phénomènes physico-chimiques spécifiques se surimposant à l'hydrodispersion (adsorption, précipitation, dégradation, etc...). Cette pratique supplémentaire nécessite toutefois une approche hydrogéochimique ; elle ne sera pas abordée dans cette note.

1.2. - PARAMETRES D'HYDRODISPERSION

L'évolution dans le temps et dans l'espace des concentrations d'un produit soluble, non interactif avec le milieu, injecté dans la zone saturée, est régie par les lois de l'hydrodispersion. La théorie de ces phénomènes ne fait pas l'objet de cette note, elle est succinctement rappelée en annexe 1. Nous nous limiterons à un rappel des notions intervenant dans les traçages ; pour plus de détail à ce sujet, cf. référence bibliographique [3].

Les caractéristiques hydrodispersives d'un aquifère continu, homogène et isotrope sont définies par trois paramètres :

- la porosité cinématique : Ω (sans unité),
- le coefficient de dispersion longitudinale : α_L (mètre),
- le coefficient de dispersion transversale : α_T (mètre).

Ces paramètres sont des grandeurs intrinsèques du milieu, donc théoriquement indépendantes des conditions de mesures (au même titre que T et S pour l'hydrodynamisme). Toutefois, pour de nombreuses expérimentations, certains auteurs ont pu constater des "effets d'échelle" affectant les coefficients de dispersion, dont les valeurs peuvent varier en fonction de la distance entre le point d'injection et le point de restitution [1].

La porosité cinématique caractérise essentiellement la composante convective du déplacement du fluide, les coefficients de dispersion, comme leur nom l'indique, traduisant les effets de dispersion.

Des ordres de grandeur de ces paramètres mesurés dans différents aquifères sont présentés en annexe 2.

1.3. - PRINCIPE DES TRACAGES EN MILIEU POREUX EN VUE DE DETERMINER LES PARAMETRES HYDRODISPERSIFS D'UN AQUIFERE

Un traceur dit "parfait" est injecté dans la zone saturée en un point de l'aquifère. La restitution du traceur est observée en un ou plusieurs points situés en aval hydraulique.

L'injection du traceur peut être soit continue, soit instantanée. Le schéma hydraulique peut être soit un écoulement naturel uniforme, soit un écoulement radial convergent induit par pompage.

Les paramètres hydrodispersifs de l'aquifère sont déterminés par superposition des courbes de restitution expérimentales à des courbes théoriques correspondant aux solutions analytiques de la configuration retenue. Ces ajustements se font soit par abaque, soit préférentiellement de façon semi-automatique ou automatique par le logiciel CATTI du BRGM [2].

La programmation et la mise en oeuvre d'un traçage est une opération dont la complexité est très variable selon les cas. Les principales étapes d'un traçage sont schématisées sur la figure 1 ci-après.

Pour permettre une mesure correcte des paramètres hydrodispersifs, l'expérimentation de traçages doit répondre à certaines conditions :

- le schéma d'écoulement doit être connu et maîtrisé,
- le traceur doit affecter la totalité de l'aquifère mouillé afin de pouvoir ramener l'interprétation à un problème en deux dimensions,
- le signal d'entrée du traceur apprécié à partir de la disparition du traceur dans le puits d'injection doit être connu,
- le signal de restitution observé doit se distinguer sans ambiguïté du bruit de fond et le taux de restitution du traceur être significatif (au minimum supérieur à 10 ou 20 %).

1.4. - TRACAGES EN ECOULEMENT RADIAL CONVERGENT

Les traçages à injection instantanée en écoulement radial convergent induit par pompage correspondent à la configuration la plus utilisée pour répondre aux problèmes rencontrés. Ils présentent plusieurs avantages pratiques sur les traçages en écoulement naturel :

- la convergence des écoulements en aval de l'injection permet de suivre la restitution de la totalité du traceur à partir d'un seul point d'observation ;
- l'accélération des écoulements induite par le pompage permet de diminuer les temps de l'expérimentation ;
- un traçage en écoulement radial convergent peut être fait conjointement à un pompage d'essai ;
- pour l'établissement des périmètres de protection, ils correspondent à la configuration réelle à étudier.

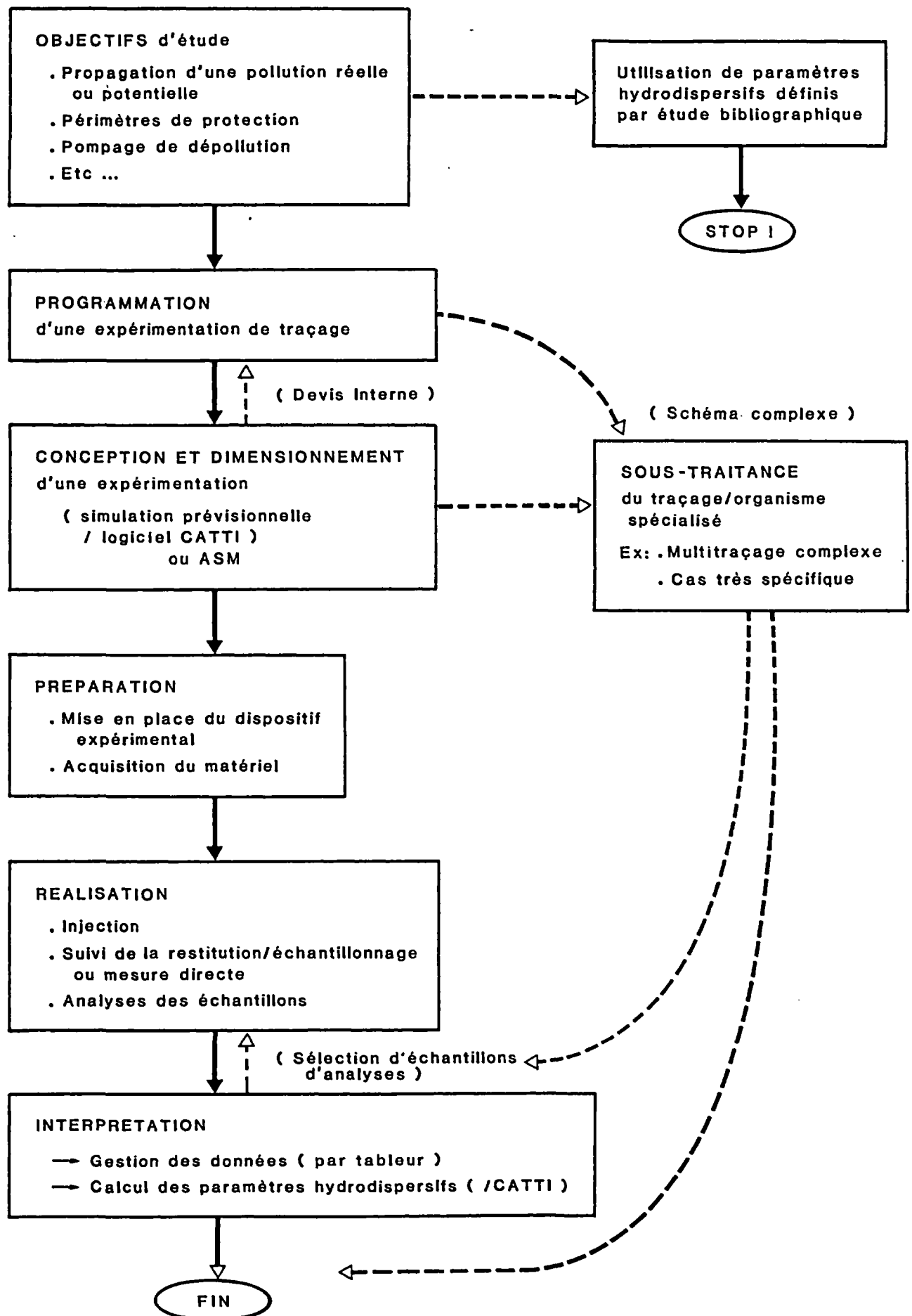


Fig.1 - DEROULEMENT SCHEMATIQUE D'UNE OPERATION DE TRAÇAGE

Cependant, les traçages en écoulement radial convergent ne permettent pas d'accéder au paramètre de dispersion transversale (αT), cette grandeur pouvant toutefois, dans bien des cas, être estimée à partir de αL , en prenant un rapport $\alpha T/\alpha L$ compris entre 5 et 10 % [3].

Un rappel théorique sur les transferts en écoulement radial est donné en annexe 3, incluant un abaque de calcul manuel des paramètres hydrodispersifs.

1.5. - TRACAGES EN ECOULEMENT NATUREL UNIFORME

Les traçages en écoulement naturel uniforme permettent d'accéder théoriquement au paramètre de dispersion latérale, en plus de la dispersion longitudinale et de la porosité cinématique. Toutefois, ces expérimentations sont généralement beaucoup plus lourdes à mettre en oeuvre que les traçages en écoulement radial convergent ; elles ne devront être envisagées que dans certaines situations particulières :

- dans l'impossibilité de réaliser un pompage pendant toute la durée d'une expérimentation,
- pour des études de pollution pour lesquelles la dispersion latérale revêt une importance particulière.

Les contraintes spécifiques à ce type d'expérimentation sont :

- une parfaite connaissance du sens d'écoulement déduit de la piézométrie,
- la mise en place et le suivi de plusieurs points de surveillance en aval de l'injection (3 à 4 au minimum), répartis perpendiculairement à l'axe d'écoulement présumé.

Pratiquement, les inconvénients majeurs de ce type de traçage sont :

- la multiplicité des points de surveillance à mettre en place sur le terrain, à échantillonner et à analyser,
- la difficulté d'automatiser les prélèvements pour des piézomètres ayant un niveau statique inférieur à 7 m (hauteur limite de l'aspiration des préleveurs ISCO),
- la difficulté de calculer le taux de restitution du traceur.

1.6. - TRACEURS UTILISES

Il existe une synthèse bibliographique très complète réalisée par le BRGM sur les propriétés des différents traceurs utilisables [4]. De cette synthèse, et surtout de la longue expérience d'organismes spécialisés dans les traçages tel que le CENG (Centre d'Etudes Nucléaires de Grenoble), il ressort que l'Iodure (injecté sous forme d'Iodure de Sodium) est un des meilleurs traceurs existants, exception faite des traceurs radioactifs.

Ses principaux avantages sont :

- sa faible teneur dans les eaux naturelles (généralement quelques ppb),
- son absence de toxicité,
- sa faible adsorption sur les formations argileuses,
- sa facilité d'utilisation.

Toutefois, en temps que traceur chimique, cet élément est invisible et difficilement détectable directement sur le terrain (sauf matériel spécifique). Pour cette raison, l'injection d'Iodure est fréquemment couplée à l'injection d'un traceur fluorescent tel que la rhodamine B par exemple, de manière à pouvoir visualiser la restitution du traceur. Cette double injection n'est toutefois pas nécessaire dans tous les cas.

Remarques :

- 1) La rhodamine peut également être utilisée de manière différente, en pré-traçage, pour une première estimation des vitesses de transfert (peu d'intérêt) ou pour tester préalablement le bon fonctionnement du piézomètre d'injection (plus intéressant).
- 2) Dans certains cas, l'emploi simultané de traceurs colorants et d'Iodure peut occasionner des problèmes analytiques pour la détermination des concentrations d'Iodure dosé par colorimétrie.

2 - CONCEPTION ET DIMENSIONNEMENT D'UNE OPERATION DE TRACAGE

La conception et le dimensionnement d'une opération de traçage consistent à définir :

- a) le schéma hydrodynamique de l'expérimentation (écoulement libre ou radial convergent),
- b) le nombre de points d'injection et le choix des traceurs s'y rapportant,
- c) un dispositif d'injection du(des) traceur(s),
- d) les quantités de traceur à injecter,
- e) un dispositif de surveillance de la restitution (piézomètre, forage, pompage),
- f) un plan d'échantillonnage (moyen de prélèvement, fréquence, durée),
- g) un plan d'analyse des échantillons.

Cette phase de réflexion est capitale dans la mesure où elle conditionnera dans une large mesure la réussite technique et financière de l'opération de traçage.

Le choix du schéma hydrodynamique et du nombre de points d'injection reste fonction du problème posé et des moyens budgétaires disponibles (cf § 1.3).

Les points d) à g) seront définis à partir de simulations prévisionnelles en utilisant le logiciel CATTI du BRGM, en estimant les paramètres hydrodispersifs du milieu, d'après les connaissances hydrogéologiques régionales de l'aquifère. Pour réaliser ces simulations, il importe de considérer des hypothèses hautes et basses de manière à ce que la réalité ait le maximum de chance d'être incluse dans cet intervalle.

Pour des cas d'écoulement plus complexe, d'autres logiciels de modèle maillé, simple d'utilisation, tel que ASM (Aquifère Simulation Modèle) peuvent également être utilisés.

En pratique, pour les calculs prévisionnels, on retiendra que :

- la porosité cinématique est peu différente de la porosité efficace, elle-même assimilable au coefficient d'emmagasinement pour les nappes libres,
- le taux de restitution de l'Iodure en écoulement radial convergent est généralement compris entre 20 et 70 % (prendre 20 % pour se placer dans un cas pessimiste),
- il est souhaitable d'adopter des coefficients de sécurité de 50 à 200 % pour les quantités de traceurs à utiliser et les durées de prélèvements, compte tenu des imprévus possibles.

3 - MISE EN OEUVRE DU TRACAGE

3.1. - PREPARATION PREALABLE A L'INJECTION

Au bureau

- acquisition du(des) traceur(s)* (attention aux délais),
 - préparation de la (des) solution(s) à injecter dans un (ou plusieurs) jerrican(s) (permet de s'affranchir des conditions météorologiques rencontrées sur le terrain)
- Remarque : l'iodure de sodium, la rhodamine et l'uranine sont disponibles sous forme soluble dans l'eau.*
- acquisition du flaconnage de prélèvement*
 - acquisition du matériel de prélèvement*
 - . préleveur automatique programmable (type ISCO) (tester le bon fonctionnement de l'appareil... et de ses batteries !)
 - . préleveur type "godet" ouvert ou fermé (pour prélèvement au fond)
 - acquisition éventuelle d'un fluorimètre de terrain pour le dosage in situ de la rhodamine
 - réservation d'un créneau d'analyse avec le laboratoire retenu pour le dosage du traceur chimique*
 - acquisition de gants jetables et de sacs poubelles pour le stockage ou rejet des récipients de rhodamine

Sur le terrain

- mesurer (ou estimer) le bruit de fond naturel des teneurs du traceur avant l'injection
- mise en place d'un dispositif piézométrique de mesure
- préparation d'un dispositif de pompage en circuit fermé sur le point d'injection

* Cf. références techniques en annexe 4.

3.2. - INJECTION DU TRACEUR

Avant l'injection, mesurer le niveau piézométrique et la conductivité de l'eau et prélever deux échantillons "blancs".

Mode d'injection

Après avoir été mis préalablement en solution, le traceur est déversé dans l'ouvrage d'injection. La concentration en traceur de la colonne d'eau de l'ouvrage est ensuite homogénéisée par un pompage en circuit fermé, le temps de l'évacuation de l'essentiel du traceur (généralement une à quelques heures) (cf. schéma de la figure 2).

Si l'ouvrage d'injection est de suffisamment bonne qualité, le traceur quittera naturellement la colonne d'eau du forage pour se répandre dans l'aquifère sans qu'il ne soit besoin de "pousser" ou "chasser" le traceur par adjonction d'un volume d'eau supplémentaire dans l'ouvrage.

La pratique d'adjonction d'eau dans le piézomètre a deux inconvénients majeurs :

- elle peut occasionner une perturbation artificielle des écoulements en modifiant les gradients hydrauliques (phénomènes particulièrement importants pour les milieux à faible perméabilité) ;
- en l'absence d'un pompage d'homogénéisation en circuit fermé, l'eau injectée dans l'ouvrage ne parvient généralement pas jusqu'au fond, elle occasionne alors une dilution de la partie supérieure de la colonne d'eau et contribue par conséquent à créer un gradient vertical de concentration en traceur.

Cette pratique d'adjonction d'eau est donc déconseillée, sans toutefois être proscrite. Il est évident que l'importance relative de ces perturbations tend à diminuer quand le rapport distance injection-restitution/épaisseur de l'aquifère augmente. En effet, dans certaines situations, en cas d'impossibilité de réaliser un pompage en circuit fermé (piézomètre à faible diamètre, avec niveau d'eau inférieur à 6 m, défaillance du matériel de pompage, etc...), ou si l'on est contraint de travailler sur un ouvrage pouvant être partiellement colmaté, l'adjonction d'eau pour pousser le traceur peut être envisagée. Deux précautions élémentaires doivent alors être prises :

- contrôler les niveaux d'eau de l'ouvrage d'injection avant, pendant et après l'injection, de manière à pouvoir quantifier la perturbation hydraulique occasionnée et en tenir compte dans les interprétations si besoin était ;

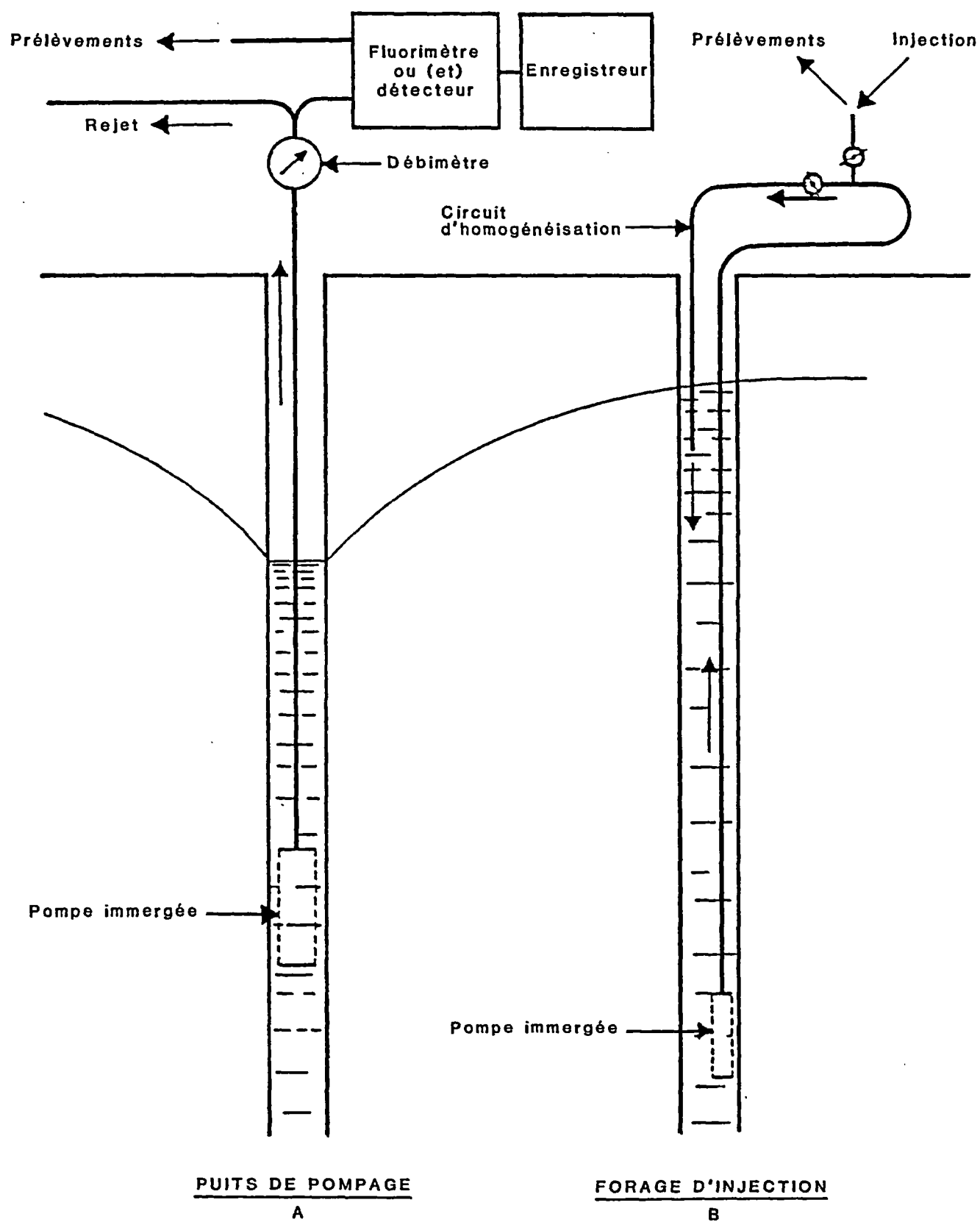


Fig.2 - SCHEMA DE PRINCIPE DES TRAÇAGES
EN ECOULEMENT RADIAL CONVERGENT

- contrôler l'évacuation du traceur par des prélèvements dans l'ouvrage d'injection à deux profondeurs minimum (surface et fond), afin de pouvoir apprécier l'effet de dilution de la partie supérieure de la colonne d'eau.

Contrôle du départ du traceur dans l'aquifère

Des prélèvements et analyses d'eau régulièrement espacés dans le temps permettront de contrôler (généralement a posteriori) le départ du traceur dans l'aquifère.

Le taux de traceur évacué à un instant t étant :

$$T_t (\%) = \frac{\text{masse évacuée}}{\text{masse injectée}} \times 100$$

$$T_t (\%) = \frac{[M_i - (C^{\circ}_t * h * \pi * R^2)]}{M_i} \times 100$$

avec M_i : masse de traceur injectée (kg)

h : hauteur de la colonne d'eau contenant le traceur (m)

R : rayon intérieur de l'ouvrage d'injection (m)

C°_t : concentration en traceur à l'instant t dans la colonne d'injection (kg/m³ ou g/l)

Sur le terrain, l'évacuation du traceur chimique peut être contrôlée par un suivi de la conductivité dans l'ouvrage d'injection.

3.3. - SUIVI DE LA RESTITUTION

Echantillonnage

Le plan d'échantillonnage est défini à partir des simulations prévisionnelles (cf. § 2). Il est conseillé de faire de nombreux prélèvements, quitte à ne pas tous les analyser systématiquement.

Pour optimiser le suivi de la restitution, il importe de tenir compte du fait que si le traceur arrive rapidement, la courbe de restitution peut être limitée dans le temps. A l'inverse, si les premières particules du traceur n'arrivent qu'au bout de deux à quelques jours, la restitution s'étalera forcément sur une période plus longue.

En pratique, il est donc recommandé de faire évoluer la fréquence des prélèvements au cours du temps, en faisant des prélèvements rapprochés au début, puis progressivement de plus en plus espacés.

Exemple : Pour un préleveur automatique d'une autonomie de 24 bouteilles, la première fréquence de prélèvement pourra être de 3 h (x 24) pendant les 3 premiers jours, puis de 6 h (x 24) pendant les 6 jours suivants, etc...

Analyse des échantillons

Pour optimiser le nombre d'analyses, il est conseillé de procéder en deux temps :

- faire un premier "balayage" de la série en faisant analyser un échantillon sur deux ou sur trois (selon la fréquence des prélèvements) ;
- après examen des premiers résultats et repérage du passage du traceur, faire analyser des échantillons supplémentaires dans les périodes intéressantes de la restitution.

Remarque : Attention de bien envoyer tous les échantillons au laboratoire de manière à pouvoir commander par simple téléfax les nouvelles analyses à effectuer dès réception des premiers résultats.

4 - INTERPRETATION DES RESULTATS

4.1. - GESTION DES DONNEES

Selon les types de traçage, la gestion des données (échantillons prélevés et/ou analysés) peut être plus ou moins complexe.

Pour cette opération, l'emploi d'un tableur est vivement recommandé ; outre la mise au propre des résultats, il permet :

- une visualisation graphique des résultats,
- l'utilisation des fonctions calendaires,
- une automatisation de certains calculs (moyenne de concentrations à profondeurs différentes, taux d'évacuation du traceur, etc...).

4.2. - CALCULS DES PARAMETRES HYDRODISPERSIFS

Le calcul des paramètres hydrodispersifs est réalisé avec le logiciel CATTI du BRGM [3] par ajustement de la courbe expérimentale avec une courbe théorique. Une illustration des possibilités du logiciel CATTI est donnée en annexe 5.

En écoulement radial convergent, le taux de restitution est également calculé par ajustement de la surface de la courbe de restitution, avec le logiciel CATTI.

REFERENCES BIBLIOGRAPHIQUES

- [1] A. LALLEMAND-BARRES, P. PEAUDECERF (1978) - "Recherche des relations entre la valeur de la dispersivité macroscopique d'un milieu aquifère, ses autres caractéristiques et les conditions de mesure - Etude bibliographique" - Bulletin du BRGM (2ème série), section III, n° 4. p. 277-284.

- [2] J.P. SAUTY, W. KINZELBACH - Computer Aided - Tracer Tests Interpretation - Mode d'emploi de CATTI version 2.0 mai 1988 - Rapport BRGM 89 SGN 217 EEE.

- [3] J.P. SAUTY (1977) - "Contribution à l'identification des paramètres de dispersion dans les aquifères par interprétation des expériences de traçages" - Thèse de docteur ingénieur, Université de Grenoble, 157 p.

- [4] A. LALLEMAND-BARRES (1984) - Traceurs artificiels en hydrogéologie - Rapport BRGM 84 SGN 319 EAU - 66 p.

- [5] J.P. SAUTY (1987) - Utilisation des traceurs pour définir les périmètres de protection - Rapport BRGM 87 SGN 287 EAU.

A N N E X E 1

**RAPPELS SUR LA NOTION DE
DISPERSIVITE D'UN
MILIEU POREUX**

d'après la référence bibliographique [1]

Rappels sur la notion de dispersivité d'un milieu poreux

Les transferts en milieu poreux saturés de substances miscibles à l'eau sont régis par les deux phénomènes fondamentaux : convection et dispersion. En écoulement convectif-dispersif, la distribution des concentrations vérifie les équations aux dérivées partielles de la forme :

$$\operatorname{div} (\overline{\overline{D}} \cdot \overrightarrow{\operatorname{grad} C}) - \operatorname{div} uC = \frac{\delta C}{\delta t}$$

ou, pour un écoulement uniforme dans un espace bidimensionnel siège d'un écoulement parallèle à la direction Ox :

$$D_L \frac{\delta^2 C}{\delta x^2} + D_T \frac{\delta^2 C}{\delta y^2} - u \frac{\delta C}{\delta x} = \frac{\delta C}{\delta t}$$

où C est la concentration de la solution, u est la vitesse effective de pore égale à $\frac{V}{\omega}$ où V est la vitesse de Darcy et ω est la porosité cinématique

$$\overline{\overline{D}} \text{ est le tenseur de dispersion} = \begin{vmatrix} D_L & 0 & 0 \\ 0 & D_T & 0 \\ 0 & 0 & D_T \end{vmatrix}$$

D_L est le coefficient de dispersion longitudinale

D_T est le coefficient de dispersion transversale.

Le phénomène de dispersion est la somme de deux effets :

- la diffusion moléculaire D_m
- la dispersion cinématique provoquée par le mouvement de l'eau.

Aussi, écrit-on :

$$D_L = \alpha_L u + D_m$$

et $D_T = \alpha_T u + D_m$

où α_L et α_T sont des paramètres qui ne dépendent que du milieu poreux. Ce sont les coefficients de dispersion intrinsèque [réf. b] ou dispersivité :

- α_L dispersivité longitudinale,
- α_T dispersivité transversale.

Comme l'ont montré les travaux de PFANNKUCH, pour la gamme des vitesses pratiquement rencontrées dans les aquifères naturels, le coefficient de dispersion longitudinale D_L est proportionnel à la vitesse, le terme de diffusion moléculaire étant négligeable devant la dispersion cinématique : $D_L = \alpha_L u$.

Références de l'annexe

- [a] FRIED J.J., COMBARNOUS M.A. (1971). — Dispersion in porous media. In: Advances in hydroscience, New York, London, Academic Press, 7, pp. 169-282.
- [b] CASTANY G., MARGAT J. (1977). — Dictionnaire d'hydrogéologie. BRGM, Orléans.
- [c] PFANNKUCH H.O. (1963). — Contribution à l'étude des déplacements de fluides miscibles dans un milieu poreux. *Rev. Inst. fr. pétrole*, 18, n° 2, pp. 215-270.

A N N E X E 2

**VALEUR DES PARAMETRES
HYDRODISPERSIFS DE
DIFFERENTS TYPES D'AQUIFERES**

d'après la référence bibliographique [1]

TABLEAU I. — Traçage en milieu poreux

Milieu	Perméabilité (m/s)	Épaisseur de l'aquifère (m)	Hétérogénéité apparente	Distance (m)	Type d'écoulement	Vitesse moyenne (m/s)	Traceur	Dispersivité α (m)	Porosité cinématique	Réf.
Sable (Albien)	—	10	—	—	puits unique	—	chaleur	0,13	—	3 et 22
Sable (Sparnac.)	—	30	—	—	puits unique	—	chaleur	0,45	—	3 et 22
Sables et graviers	—	—	—	3 500	naturel	—	Fluoresceine	6	—	4 et 23
Sables et graviers	—	—	—	4 000	naturel	—	Fluoresceine	480	—	4 et 26
Sables gravier et galets	—	12	—	6	radial divergent	9,6	CINa	11	—	5
Sable	1,5 à $3 \cdot 10^{-5}$	2,5	bistrates	5 à 6	radial convergent	3,1	—	0,18	0,24	10
Sable	$3 \cdot 10^{-4}$	3 à 4	—	13	uniforme forcé	2,7	INa	0,8	—	12 et 21
				13	—	1	H ³	1,3	—	
				13	—	2,4	I ¹³¹	0,7	—	
				26	—	1	—	2,2	—	
				33,2	—	2	—	1,9	—	
Grès	$3 \cdot 10^{-5}$	31	—	3	radial	—	Br ⁸²	($\alpha = 0,11$) 0,31	0,39	14
				6	divergent	—	—	0,16 et 0,38	0,32 et 0,48	
				3	radial	—	Rhod. WT	0,60	0,48	
				6	convergent	—	Cl Li	0,60	0,36	
Argile sableuse	—	—	—	100	naturel	—	IK Sr ⁹⁰	40	—	15
Sable	1	7	strates	8	doublet	—	Cr ⁵¹	($\alpha = 7,5$) 0,50	—	17
Basalte et sédiments	—	78	strates	500 env.	naturel	2,1	CINa H ³ Sr ⁹⁰	91 ($\alpha = 137$)	—	19
Argile, sable et graviers	$1,5 \cdot 10^{-2}$	2	bistrates	9,3	radial	18	INa	6,9	0,14	20 et 21
Argile, sable et graviers	$6,5 \cdot 10^{-3}$	1	bistrates	5,3	radial	11,5	INa	0,3	0,21	20 et 21
Argile, sable et graviers	$2,1 \cdot 10^{-2}$	4,9	bistrates	10,7	radial	3,8	INa	0,7	0,18	20 et 21
Argile, sable et graviers	—	8,6	multistrates	25	radial	46,7	INa	0,46	0,018	20 et 21
Argile, sable et graviers	—	3,4	multistrates	25	convergent	16,0	INa	1,1	0,059	21
Argile, sable et graviers	—	12	multistrates	25	radial	125	INa	11	—	21
Argile, sable et graviers	—	12	multistrates	25	convergent	100	INa	1,25	—	21
Argile, sable et graviers	—	12	multistrates	50	radial	15,5	INa	25	—	21
Argile, sable et graviers	—	12	multistrates	50	convergent	78	INa	6,25	—	21
Argile, sable et graviers	—	12	multistrates	150	radial	6,9	INa	12,5	0,08	21
Argile, sable et graviers	—	12	multistrates	150	convergent	—	—	—	—	21
Sable et argile	$5,5 \cdot 10^{-3}$	6,1	bistrates	18,3	radial	29	I ¹³¹ H ³	0,26	0,32	25 et 11
Sable et argile	$5,5 \cdot 10^{-3}$	6,1	bistrates	18,3	convergent	—	—	—	—	25 et 11

A N N E X E 3

**RAPPEL THEORIQUE SUR
LES TRANSFERTS EN
ECOULEMENT RADIAL**

(Extrait du rapport BRGM n° 87 SGN 287 EAU)

TRANSFERTS EN ECOULEMENT RADIAL

1 - CONDITIONS DE VALIDITE DU SCHEMA

Par le terme radial, nous désignons, comme c'est la coutume, un écoulement qui est en fait **axisymétrique** dans l'espace à trois dimensions : écoulement à symétrie de révolution autour de l'axe d'un puits.

Si les vitesses sont constantes sur chaque verticale, l'écoulement est entièrement défini par sa projection horizontale. Dans ce cas, un écoulement axisymétrique autour d'un axe vertical devient radial si on le considère dans le plan horizontal.

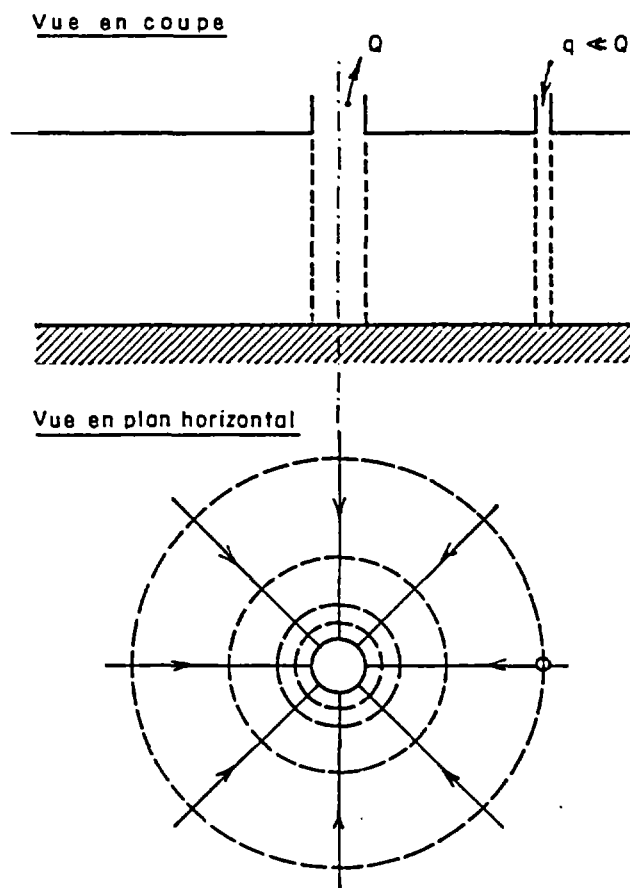


Figure A.8.1 - Schéma du dispositif de traçage en écoulement radial convergent

L'écoulement radial résulte du pompage dans un puits. A l'échelle considérée, les conditions aux limites doivent être suffisamment éloignées, l'écoulement régional faible et les hétérogénéités ainsi que l'anisotropie éventuelle peu marquées pour ne pas perturber l'axisymétrie de l'écoulement. La substance dont on étudie la propagation est injectée latéralement avec un flux suffisamment faible pour ne pas modifier non plus le champ des vitesses.

Ce schéma s'applique essentiellement pour interpréter les tracés dits "en écoulement radial convergent" avec injection rapide du traceur par un piézomètre latéral, sans toutefois créer de surpression à l'injection. C'est l'écoulement de la nappe à travers le piézomètre qui élimine le traceur en un temps de l'ordre de 1 heure alors que l'apparition à l'exhaure dans le puits central n'apparaît qu'à l'issue de un à plusieurs jours de pompage ; (dans le cas où les 2 durées seraient plus voisines, on pourrait encore utiliser la réponse impulsionnelle présentée ici mais à condition de la convoluer par la loi d'entrée (ce qui pour une utilisation pratique, signifie l'utilisation d'un ordinateur).

Ce schéma peut également être appliqué au cas d'une pollution à proximité d'un captage. Les concentrations calculées dans la nappe seraient alors variables sur la hauteur (plus forte en partie haute), puisque, à faible distance, le polluant n'aurait pas le temps de diffuser sur la totalité de la couche aquifère ; par contre, les concentrations au puits devraient être les mêmes.

2 - EQUATION AUX DERIVEES PARTIELLES

La combinaison de la loi de Fick (flux diffusif proportionnel au gradient) et de l'équation de continuité conduit, pour un écoulement piston-diffusion sans échanges, à l'équation :

$$\frac{\partial C}{\partial t} = -u \frac{\partial C}{\partial r} + D_L \frac{\partial^2 C}{\partial r^2} + \frac{D_T}{r^2} \frac{\partial^2 C}{\partial \theta^2} \quad (1)$$

avec

$$D_L = \alpha_L |u| \quad D_T = \alpha_T |u| \quad (2)$$

- Elimination du terme transversal

Quand l'écoulement est radial convergent (injection dans le piézomètre), le traceur va se disperser latéralement, mais les particules de traceur passées dans un tube de courant voisin vont se trouver entraînées vers le puits d'exhaure dans les mêmes conditions : la dispersion transversale n'apporte pas de retard à la date d'arrivée au puits central. Ce fait peut être facilement mis en évidence sur l'équation (1) à l'aide du changement de variable :

$$\bar{C}(r, t) = \frac{1}{2\pi} \int_0^{2\pi} C(r, \theta, t) d\theta \quad (3)$$

qui représente la concentration moyenne à la distance r du puits. A la distance R du centre, correspondant à la position du piézomètre d'injection, cette concentration est donnée par le rapport du flux massique injecté au débit total pompé.

Dans ces conditions, l'équation (1) s'écrit :

$$\frac{\partial \bar{C}}{\partial t} = -u \frac{\partial \bar{C}}{\partial r} + |u| \frac{\partial}{\partial r} \left(\alpha_L \frac{\partial \bar{C}}{\partial r} \right) \quad (4)$$

ou encore, avec α_L uniforme :

$$\frac{\partial \bar{C}}{\partial t} = -\frac{A}{r} \frac{\partial \bar{C}}{\partial r} + \alpha_L \frac{|A|}{r} \frac{\partial^2 \bar{C}}{\partial r^2} \quad (5)$$

avec :

$$A = \frac{Q}{2\pi h\omega} \quad (6)$$

Q = débit du puits central (< 0 en pompage : écoulement convergent).

h = épaisseur aquifère

ω' = porosité cinématique

α = dispersivité longitudinale.

- Choix des variables sans dimension

L'examen de l'équation différentielle (5) met en évidence la dépendance de la concentration C vis-à-vis des deux variables indépendantes, r et t , et des trois paramètres α , A et ε (ainsi que des deux conditions aux limites notées C_L).

$$C = C(r, t, \alpha, A, \varepsilon, C_L) \text{ avec } C_L(t) = \text{concentration sur la limite amont} \quad (7)$$

Distance réduite

On choisit $r_R = \frac{r}{\alpha}$ où α , coefficient de dispersivité, a la dimension d'une longueur. (8)

Temps réduit

La durée de référence a été prise égale au temps t_C de transfert entre le puits central et le piézomètre périphérique (distance R), par convection pure :

$$t_C = \frac{w \pi R^2 h}{Q} = \frac{R^2}{2A} \quad (9)$$

D'où l'expression du temps réduit :

$$t_R = \frac{t}{t_C} = \frac{2At}{R^2} = \frac{Q}{\pi R^2 h w} t \quad (10)$$

L'équation (5), transposée en fonction de ces variables réduites, s'écrit :

$$\frac{2}{P} \cdot \frac{\partial C}{\partial t_R} = - \frac{\partial C}{\partial r_R} + \frac{\partial^2 C}{\partial r_R^2} \quad (11)$$

avec $P = R/\alpha$ nombre de Péclet = $(r_R)_{r=R}$

La courbe de restitution $C(t_R)$, obtenue pour $r_R = P$, ne dépend que du paramètre P ainsi, bien entendu, que des conditions aux limites.

3 - REPONSE A UNE IMPULSION DANS UN ECOULEMENT CONVERGENT

3.1 - ABAQUE

Le puits central est soumis à un pompage continu à débit constant. On introduit une masse m de traceur dans le piézomètre satellite. Cette masse passe rapidement dans l'écoulement qui ne doit pas être sensiblement perturbé par la surcharge éventuellement nécessaire à l'injection du traceur.

La figure A.8.2 présente les courbes de restitution au puits central pour des injections à différentes distances réduites $\frac{r}{\alpha}$. Elle a été réalisée à l'aide d'un modèle numérique.

3.2 - COMPARAISON ENTRE IMPULSION EN ECOULEMENT CONVERGENT ET LA DERIVEE DE LA REPONSE A UN ECHELON EN ECOULEMENT MONODIMENSIONNEL UNIFORME

Les écarts entre la courbe de restitution à une injection brève en écoulement radial convergent et la dérivée de la réponse à un échelon imposé dans un écoulement monodimensionnel à vitesse uniforme sont rapportés figure A.8.3.

La courbe correspondante a pour équation :

$$C_R = \frac{K}{t_R^{1,5}} \exp \left[- \frac{P}{4t_R} (1 - t_R)^2 \right] \quad (12)$$

avec :

$$K = t_{Rmax}^{1,5} \exp \left[- \frac{P}{4t_{Rmax}} (1 - t_{Rmax})^2 \right] \quad (13)$$

où

$$t_{Rmax} = \sqrt{1 + \left(\frac{3}{P} \right)^2} - \frac{3}{P} \quad (14)$$

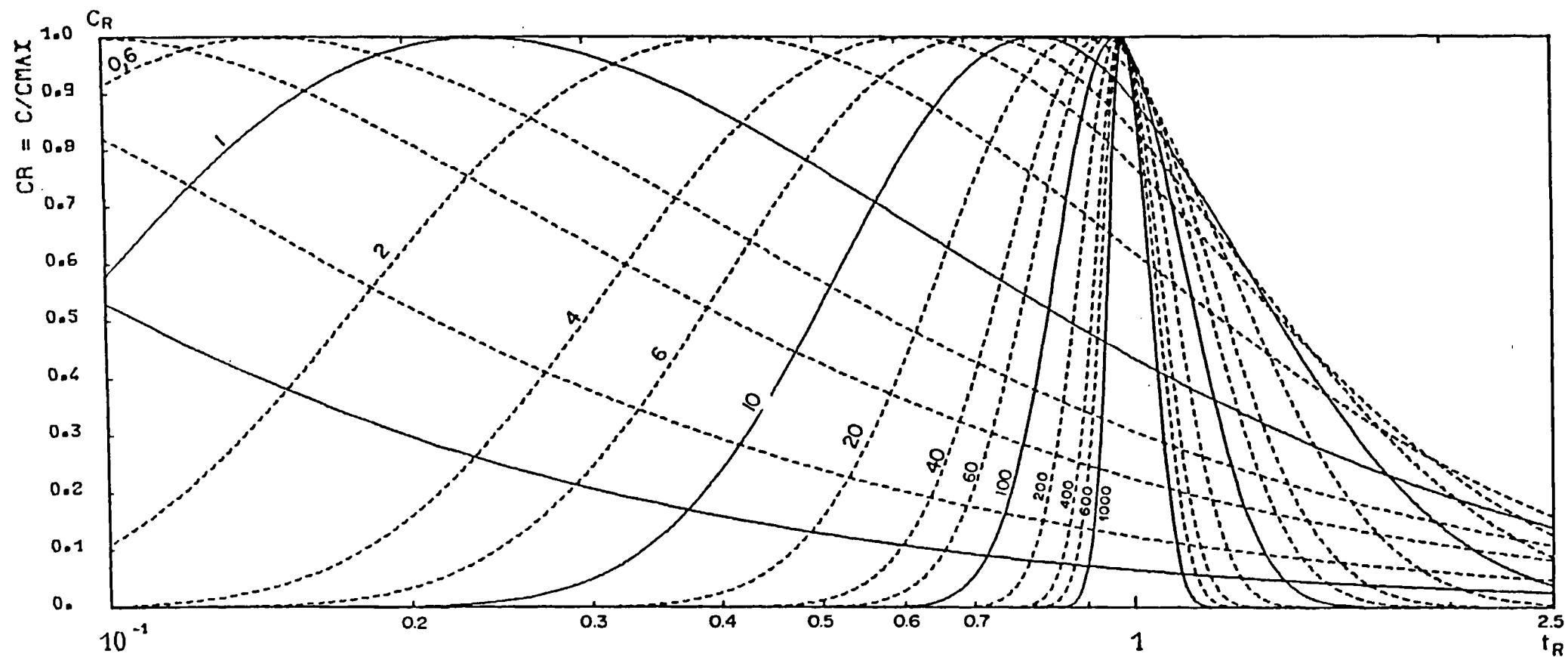


Figure A.8.2 - Abaque pour une injection instantanée dans un écoulement convergent

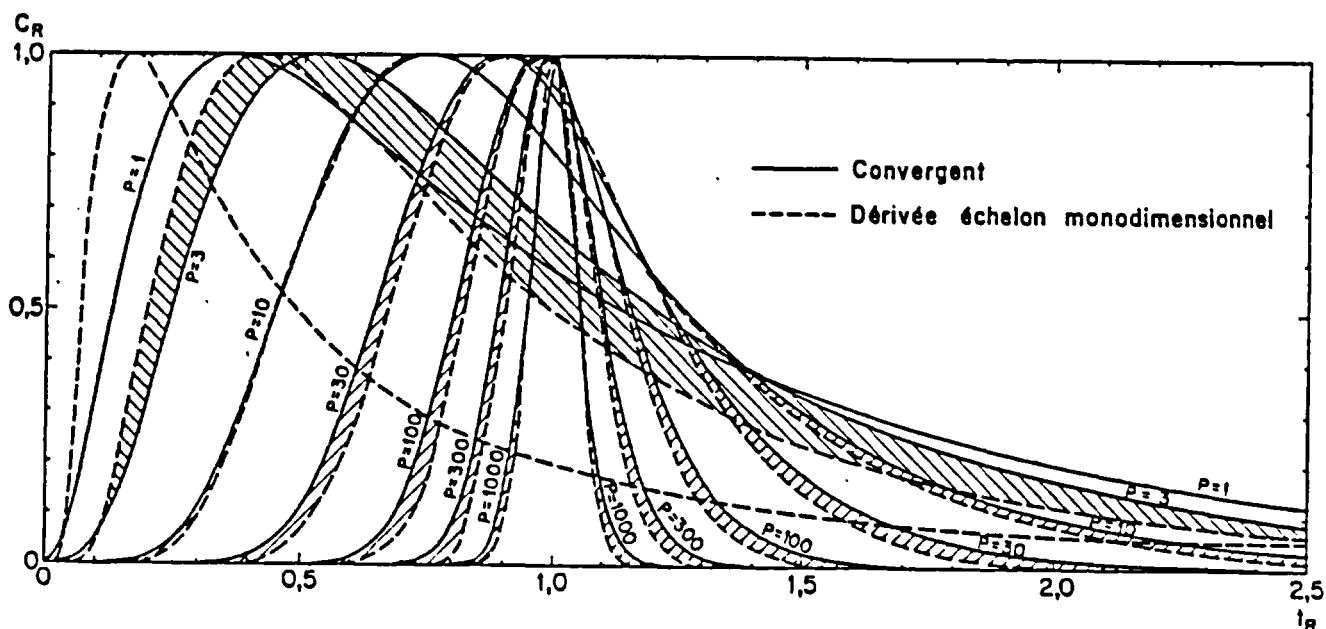


Figure A.8.3 - Impulsion brève en écoulement convergent : comparaison avec la dérivée de la réponse à l'échelon en écoulement monodimensionnel

Pour une valeur du paramètre P supérieure à 3, l'expression (12) fournit donc une formulation approchée de l'évolution des concentrations relatives $C_R = C/C_{\max}$, aisément exploitable sur une calculatrice programmable ; l'amplitude réelle est calculée à partir de C_{\max} (cf. A.8.3).

On observe une très bonne concordance tant que $P > 3$.

3.3 - COMPARAISON A L'ECHELON IMPOSE EN ECOULEMENT MONODIMENSIONNEL UNIFORME

Les écarts entre la restitution d'une injection continue en écoulement radial convergent et celle d'un échelon imposé en écoulement monodimensionnel uniforme (champ de vitesse uniforme et absence de dispersion transversale) sont mis en évidence par la figure A.8.4.

La courbe de restitution a pour équation dans ce dernier cas :

$$C_R = 0,5 \left(\operatorname{erf}_c \frac{\sqrt{P}(1-t_R)}{2\sqrt{t_R}} + \exp(P) \cdot \operatorname{erf}_c \frac{\sqrt{P}(1+t_R)}{2\sqrt{t_R}} \right)$$

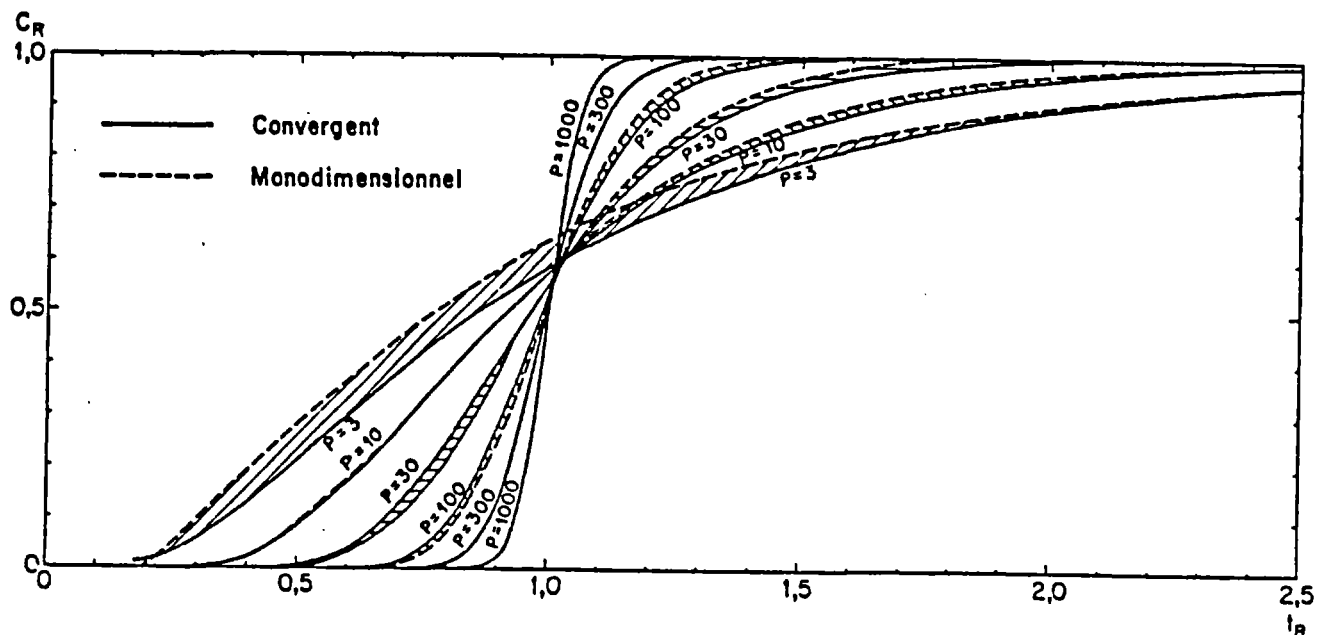


Figure A.8.4 - Injection continue en écoulement convergent : comparaison avec l'échelon monodimensionnel

On observe une très bonne concordance tant que $P > 3$.

4 - CALCUL DE LA CONCENTRATION MAXIMALE

Dans tous les cas, le pic de concentration est calculé dans l'hypothèse d'un schéma hydrodispersif pur. En réalité, des phénomènes destructeurs ou retardateurs tels que l'adsorption auront tendance à réduire l'amplitude réelle du pic. Cette évaluation va donc dans le sens de la sécurité ; elle est d'autant plus conservative que le comportement du produit étudié est éloigné de celui d'un traceur parfait.

La valeur du maximum de concentration est déduite des simulations numériques :

$$C_{max} = \frac{m}{\pi R^2 h w} \cdot f(P) \quad \text{avec} \quad f(P) = \frac{1}{\int_0^{\infty} C_R dt_R} \quad (15)$$

avec

- m : masse de soluté injectée
- R : distance entre points d'injection (axe du puits en écoulement divergent) et de mesure (axe du puits en écoulement convergent)
- h : épaisseur de l'aquifère
- ω : porosité cinématique
- P : nombre de Péclet (rapport R/α , avec α : dispersivité)
- $f(P)$: fonction du nombre de Péclet, obtenue par intégration numérique et représentée par la figure A.8.5.

4.1 - EXEMPLE D'APPLICATION

A 25 m d'un captage, 10 kg de substance nocive sont déversés de façon quasi-instantanée dans un aquifère de 3 m d'épaisseur, et pour lequel une expérience de traçage a indiqué une dispersivité de 3 m et une porosité efficace de 15 %. Le débit est suffisamment important pour qu'à 25 m de l'axe du puits, l'écoulement puisse encore, avec une bonne approximation, être considéré comme radial.

$$C_{\max} = \frac{10}{\pi \cdot 25 \cdot 3 \cdot 0,15} f(25/3) = 0,011 \cdot f(8,3)$$

La courbe de la figure A.8.5 indique que $f(8,3) = 1,03$; d'où :

$$C_{\max} = 0,012 \text{ kg/m}^3 = 0,012 \text{ g/l}$$

$C_{\max} \leq 10^{-2} \text{ g/l}$

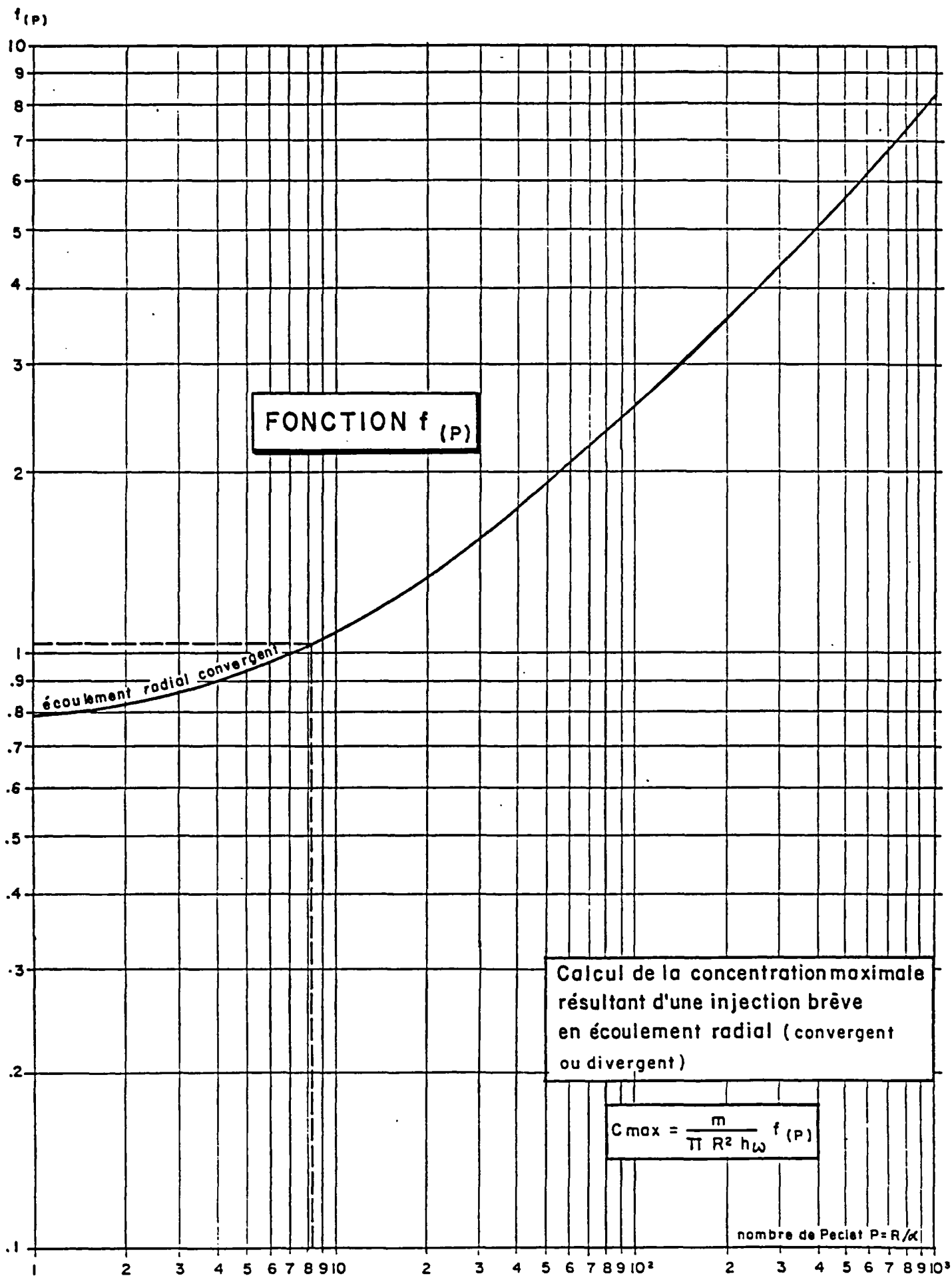


Figure A.8.5 -

A N N E X E 4

**REFERENCES ET COUTS DE
FOURNITURES ET PRESTATIONS
LIEES AUX TRACAGES**

Les tarifs sont donnés à titre indicatif pour l'année 1990.

Flaconnage et traceurs (exemple de fournisseur) :

Ets Noël Verry SOCIÉTÉ D'EXPLOITATION DES ETS NOËL VERRY S.A.R.L. AU CAPITAL DE 50 000 F RUE NICOLAS-CUGNOT Z.I. 21300 CHENOVE - DIJON Tél. 80 52 12 13 Tél. VERRYLAB 351525 F C.C.P. DIJON 4088-77 C R.C.S. DIJON B 322 668 203 00019 Code APE 6440		PROLABO MERCK HERAEUS RAL SIGMA FLUKA TRAVAUX DE VERRERIE SADON MIELE SCHOTT WHATMAN SOPALIN BECTON-DICKINSON BRAND KIT-LAB MICROSCOPE NACHET MATÉRIEL MÉDICAL DROGUERIE INDUSTRIELLE FLAÇONNAGE ALVRER B. R. G. M. 32 AV. MARECHAL JOFFRE 21000 DIJON		DOIT B. R. G. M. 32 AV. MARECHAL JOFFRE 21000 DIJON				
DUPLICATE FACTURE XXXXXXXXX								
V.REFERENCE	DATE RÉF.	MODE DE PAIEMENT	CONDITIONS DE PAIEMENT	DATE ÉCHÉANCE	NUMERO CLIENT	FACTURE NUMERO	FACTURE DATE	PAGE
TELEPHONIQUE	2/02/90	CHEQUE SUR FACTURE	60 JRS FIN DE MOIS	30/04/90	226	11948	21/02/90	1
MODE DE LIVRAISON			CONDITIONS DE LIVRAISON					
CDE	CODE ARTICLE	DÉSIGNATION	COND.	QTE CDEE	QTE LIVREE	PRIX BRUT	PRIX NET	T.P. V.T. MONTANT H.T.
12247		B L 35293 DU 02 02 90						
12247	900 6487	FLAC SIROP B20 30ML AV C	U		224	1,80	1,80	403,20
12247	330 3572	FLUORESCENCE BRUT HYD 1KG	1 KG		2	562,50	562,50	1.125,00
12247	P 27 512 231	SODIUM IODURE RECTA	250 GR		1	210,45	210,45	210,45

Préleveur automatique :

Les départements Eau et Environnement du BRGM disposent de plusieurs prélèyeurs automatiques ISCO, programmables, d'une capacité de 24 flacons.

Responsable de la gestion des préleveurs : Z. ALAMY (dépt Env.)

Responsable technique des préleveurs : P. LEFEVRE (dépt Env.)

Forfait (révision + expédition) : 200 F + 400 F/semaine

Ces tarifs sont susceptibles d'être fortement augmentés prochainement.

Analyses :

DT/ANA est en mesure de réaliser les dosages d'iodure et (depuis peu) des colorants fluorescents. Si possible, réserver un créneau d'analyse avec eux avant de faire le traçage.

Prix unitaire : 75 F ou 45 F/échantillon pour des séries supérieures ou égales à 24.

A N N E X E 5

**ILLUSTRATION DES POSSIBILITES
DU LOGICIEL CATTI ET
EXEMPLE D'APPLICATION**

(notice explicative : rapport BRGM n° 89 SGN 217 EEE)

CATTI's Main Menu

Reading a previous data file
Simulation of breakthrough curve $C(t)$
Automatic identification
Opening a new data file
Adding a new piezometer record on an existing data file
Modifying an existing data file
Suppress a piezometer record from a data file
key:

Choosing the mathematical model

1D uniform flow * cst α * Dirac
2D uniform flow * cst α * Dirac
1D uniform flow * cst α * Dirac * 2 sites * numerical
2D uniform flow * var α * Dirac
2D uniform flow * cst α * angle ? * Dirac
Radially converging flow * Dirac * 1 site * Approximation
Radially converging flow * Dirac * two sites * numerical

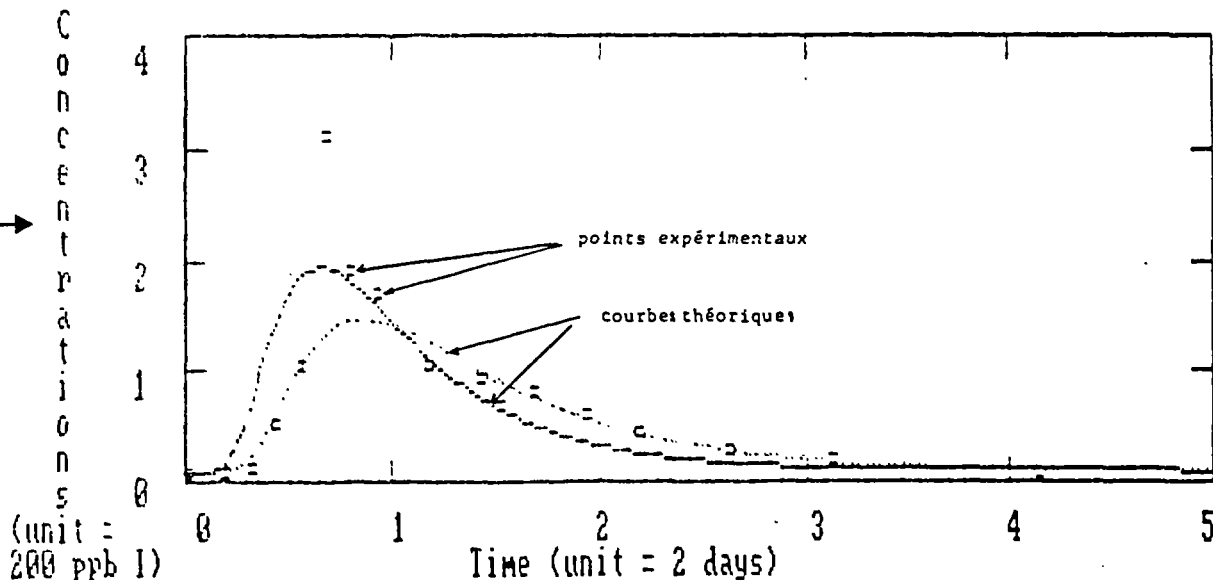
key:
2D uniform flow * var α * Cont inj

02 July 1990 09:51

Parameters for Radially converging flow * Dirac * two sites * numerical

Transfer parameters		Exchange parameters	
(layer #1/2)			
X Longit. distance	4.000E+01 m	F Recovery factor	8.000E-01
		L Decay factor	0.000E+00 /s
m Mass injected tracer	4.400E-01 kg	k Kinetics coefficient	1.000E-06 m/s
Q Production flow rate	7.000E-04 m ³ /s		
Ω Kinematic porosity	1.000E-01		
α_L Longit. dispersivity	8.000E-01 m		
h Aquifer thickness	1.000E+01 m	Ci Initial noise	0.000E+00 kg/m ³
		Di Initial delay	0.000E+00 s

Kinetics coefficient $< 2/dt = 2.9245E-06$ is satisfied
Dispersivity $\geq dx/2 = 6.122$ (Numerical Peclet ≤ 2) is not satisfied



A N N E X E 6

**EXEMPLES DE TRACAGES
REALISES A L'AGENCE
BRGM-BOURGOGNE**

Trois exemples d'expérimentation de traçage sont présentés ci-après. Ils illustrent de façon non exhaustive les différentes finalités des traçages, les difficultés techniques pouvant être rencontrées et les résultats obtenus.

Ces expérimentations ne constituent en aucun cas des modèles de traçages parfaits, elles sont présentées à titre indicatif afin de se rendre compte des possibilités et des difficultés liées à ces prestations.

Les informations données ci-après proviennent d'études pour tiers, elles sont donc strictement CONFIDENTIELLES.

EXEMPLE 1 :

TRACAGES EN NAPPE ALLUVIALE DE LA SAVOUREUSE
ETUDE DE POLLUTION DECLAREE

Cliant : GEC-Alsthom Belfort

Prix de vente du traçage (hors équipement piézométrique) : 35 KF

Finalité :

Déterminer les caractéristiques hydrodispersives de la nappe pour pouvoir modéliser une pollution existante des eaux en vue de définir un système de pompage permettant le confinement de la pollution.

Expérimentation et résultats :

Réalisation de deux traçages consécutifs à l'iodure de sodium en écoulement radial convergent induit par pompage (cf. extraits des rapports numéros 89 SGN 624 FRC et R 30201 FRC 4S 89).

Commentaires :

- Problème de variation de débit du pompage rencontré lors de la première injection I_1 à 20 m du puits.
- Courbe de restitution très régulière étalée sur plus de trois mois pour l'injection I_2 faite à 100 m du puits.
- Bonne concordance des résultats entre les deux expérimentations.

ANNEXE 9

Expérimentation de traçage du 01/02/89
au voisinage du puits Bull

- . conditions d'expérimentation
- . résultats
- . interprétation

(Extrait du rapport BRGM n° 89 SGN 624 FRC)

CONDITIONS D'EXPERIMENTATION

Date d'injection du traceur : le 01/02/89 à 15h
Point d'injection du traceur : piézomètre PS4
Point de surveillance pour la restitution : puits Bull
Traceur utilisé : Iodure de sodium (suivi des ions I⁻)
Quantité injectée : 500 g d'Iodure de sodium, soit 425 d'I⁻
Distance entre point d'injection et point de surveillance : 20m
Hauteur mouillée de l'aquifère : 2,5 m
Conditions hydrauliques : écoulement radial convergent, engendré par le pompage sur le puits Bull (5 à 21 m³/h).

RESULTATS

La courbe de restitution du traceur observée sur le puits Bull est présentée sur la figure 9.1. Cette courbe a un aspect régulier unimodale, avec un pic très pointu apparaissant au bout d'un jour et demi. Contrairement aux souhaits que nous avons émis, le pompage effectué sur le puits Bull n'a pas pu être maintenu à un débit constant pendant la durée de l'expérimentation.

Il apparaît clairement que la partie ascendante de la courbe de restitution est largement influencée par la forte augmentation de débits, observée le deuxième jour de l'expérimentation.

Le taux de restitution du traceur a été calculé par intégration du flux d'Iodure mesuré, en fonction du temps, sur les huit jours de la restitution du traceur ; il est de 66%.

Ce taux de 66% est satisfaisant, il atteste d'une bonne représentativité de l'expérimentation.

INTERPRETATION

. Vitesse de circulation de l'eau

Le centre de gravité de la courbe de restitution apparaît environ 48h après l'injection. En conséquence, pour les conditions hydrauliques du moment, la vitesse moyenne de déplacement du traceur est de l'ordre de 10m/jour.

. Paramètres hydrodispersifs de l'aquifère

Les paramètres hydrodispersifs de l'aquifère (porosité cinématique et coefficient de dispersion longitudinal) ont été calculés à l'aide du logiciel CATTI (computer assisted interpretation of field tracer tests), développé au BRGM.

Aucun ajustement parfait d'une courbe théorique sur les points expérimentaux n'est possible, compte-tenu de l'allure de la courbe influencée par les variations de débits.

Un ajustement a néanmoins été recherché, en travaillant avec un débit moyen de 9,5 m³/h.

Pour minimiser l'effet de l'augmentation brutale du débit, le deuxième jour après l'injection, le calage des paramètres hydrodispersifs a plus spécifiquement été recherché sur la partie descendante de la courbe, sans chercher à ajuster le pic des concentrations observées.

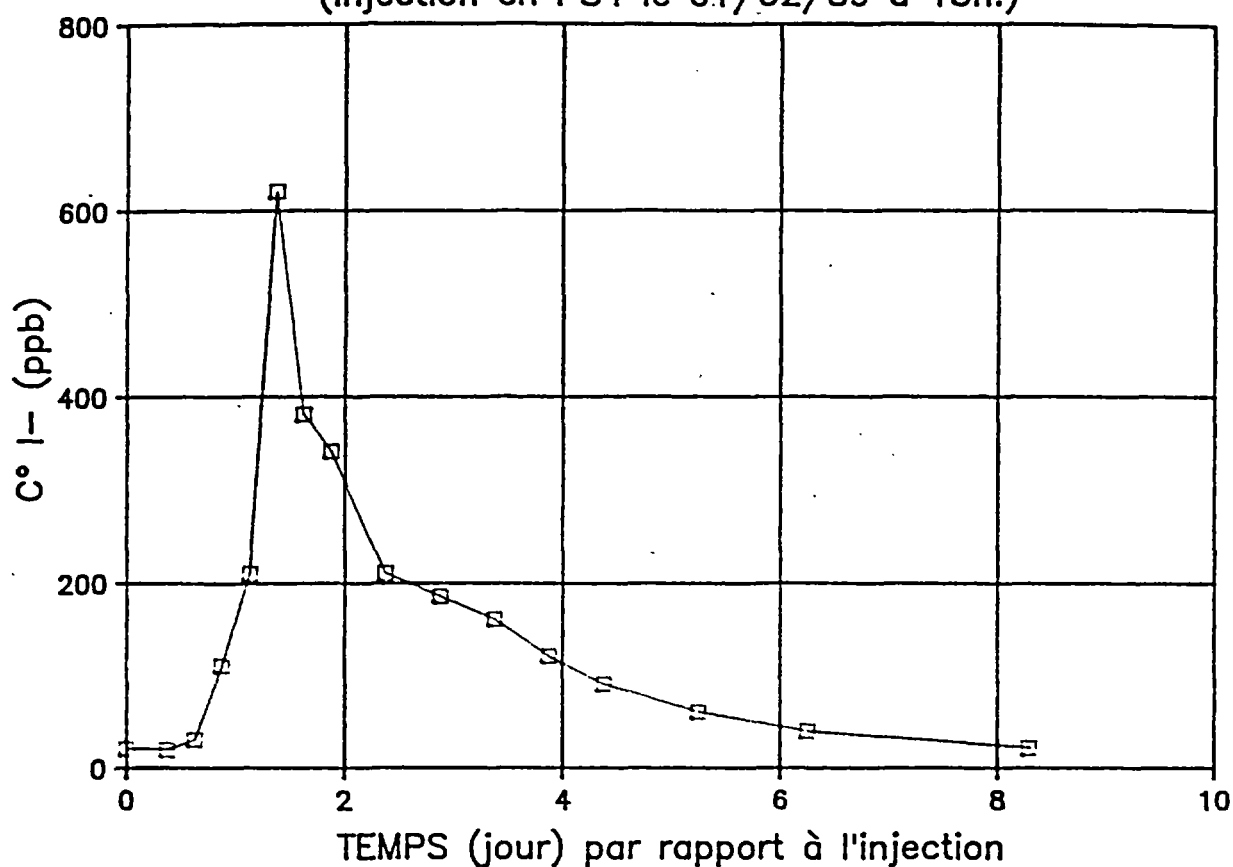
Le calage retenu est présenté sur la figure 9.2, il aboutit aux valeurs des paramètres suivants :

Porosité cinématique (ω) = 15%

Coefficient de dispersion longitudinal = 3m

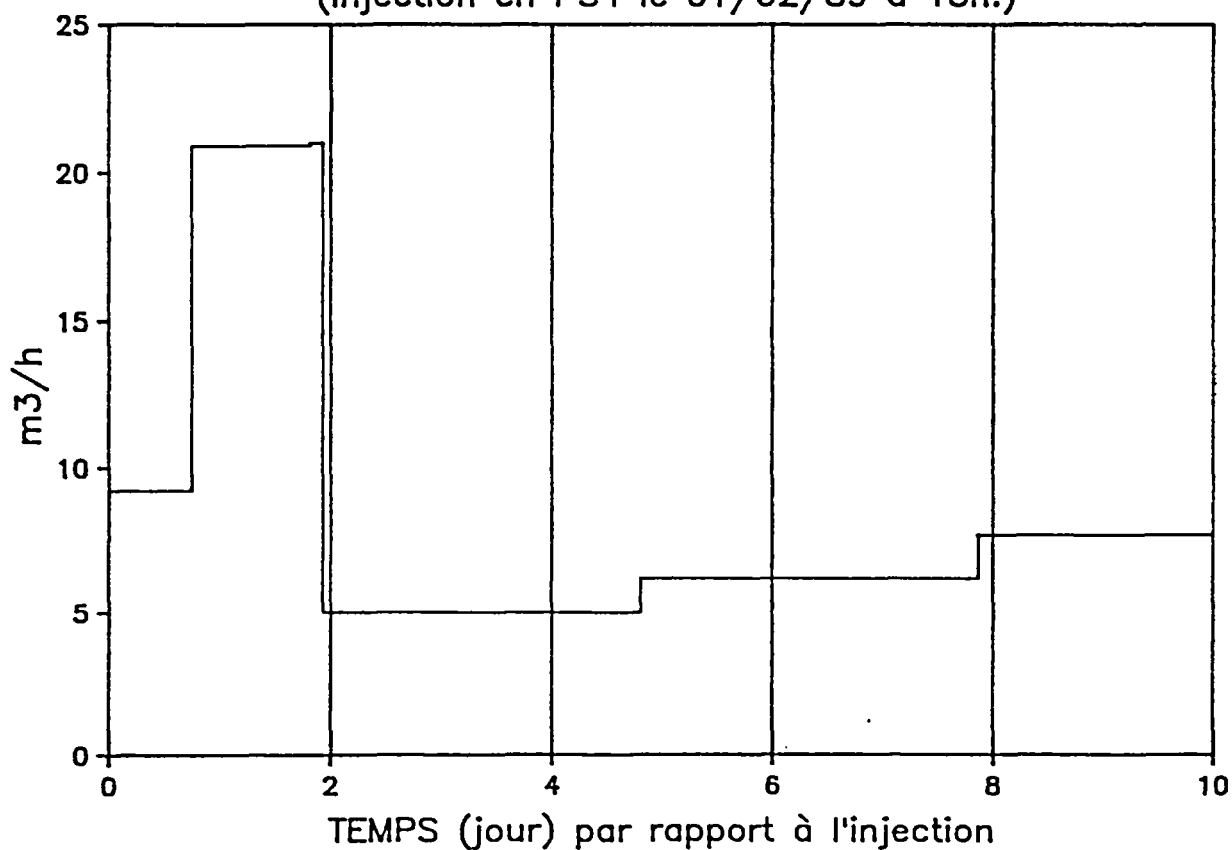
RESTITUTION DU TRACEUR AU PUITS BULL

(injection en PS4 le 01/02/89 à 15h.)



DEBITS POMPES AU PUITS BULL

(injection en PS4 le 01/02/89 à 15h.)



CALAGE DES PARAMETRES HYDRODISPERSIFS
DE L'AQUIFERE

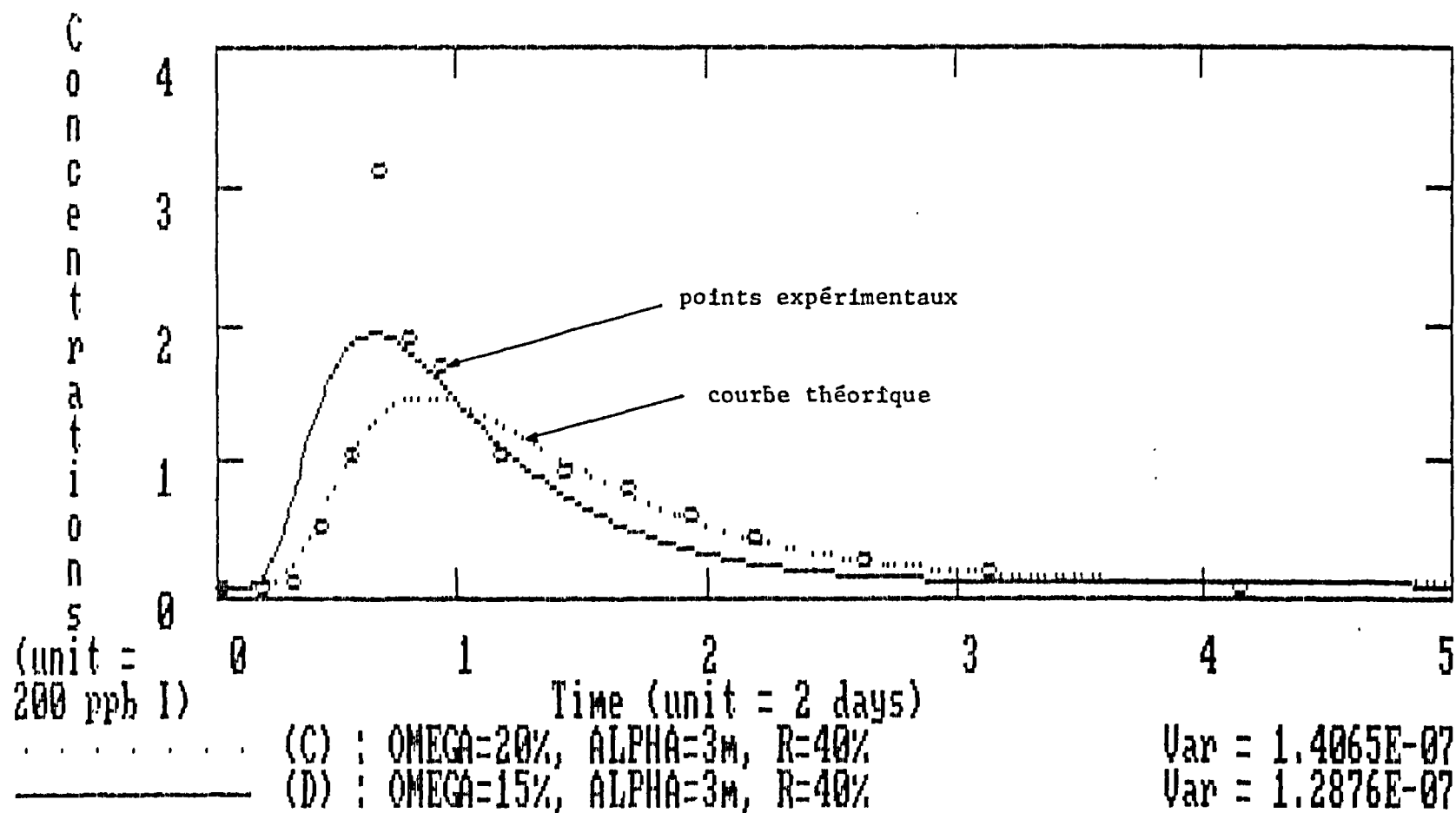


Figure 9.2

ANNEXE 5

RESULTAT DU TRACAGE

EXPERIMENTAL I2,

REALISE LE 09 FEVRIER 1989

A PARTIR D'UNE INJECTION

EN PZ1

Extrait du rapport BRGM R 30201 (nov. 1989)

TRACAGE I2

CONDITIONS D'EXPERIMENTATION

Date d'injection du traceur : le 09/02/1989 à 12 h

Point d'injection du traceur : piézomètre PZ1

Point de surveillance pour la restitution : puits Bull

Traceur utilisé : Iodure de sodium (suivi des ions I⁻)

Quantité injectée : 4000g d'Iodure de sodium, soit 3400g d'I⁻

Distance entre point d'injection et point de surveillance : 100m

Hauteur mouillée de l'aquifère : 2,5 m.

RESULTATS

Le traçage I2 a fait suite au traçage I1 réalisé le 01/02/1989, à proximité du puits Bull. La courbe de restitution du traçage I2, observée sur le puits Bull est présentée sur l'annexe 5.1.

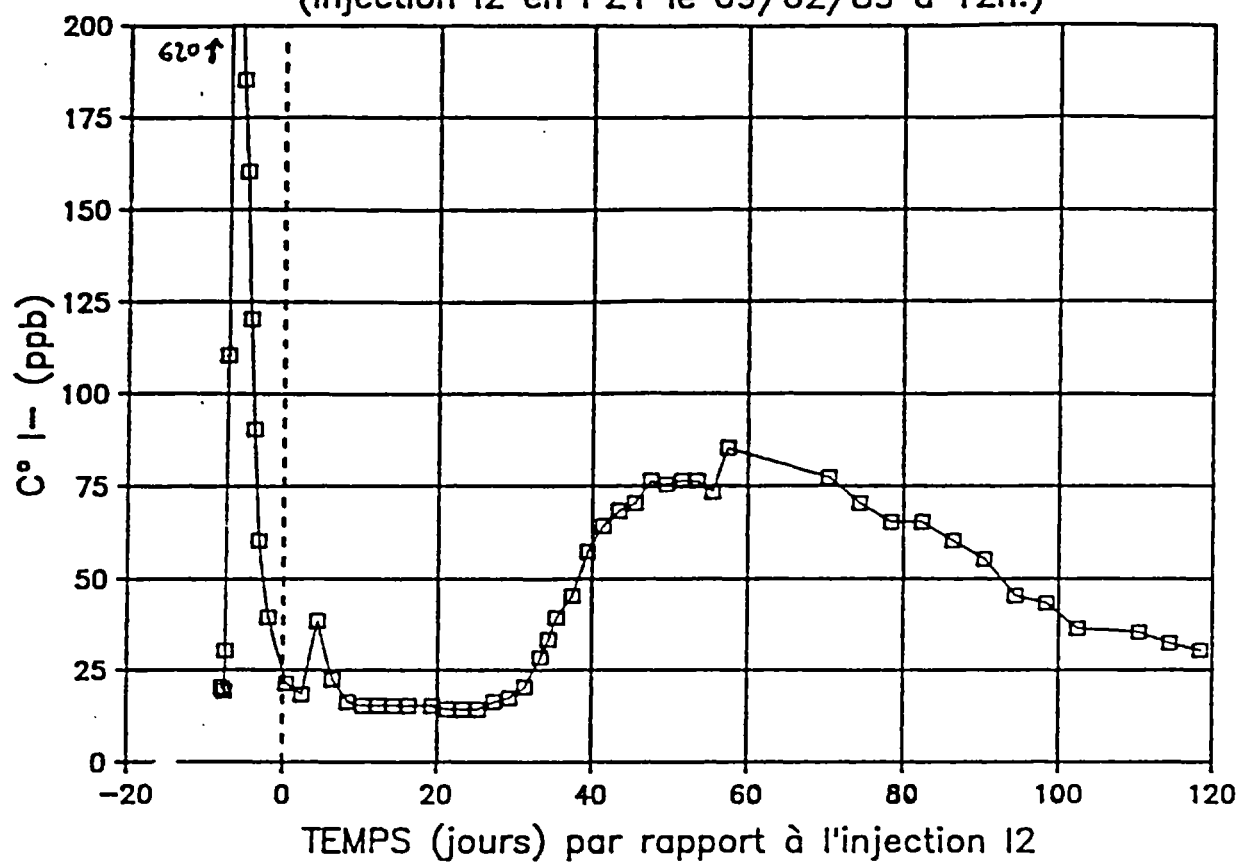
Cette courbe présente une allure très régulière, la restitution observée sur quatre mois n'est pas totalement complète. Le taux de restitution du traceur est de 29%.

INTERPRETATION

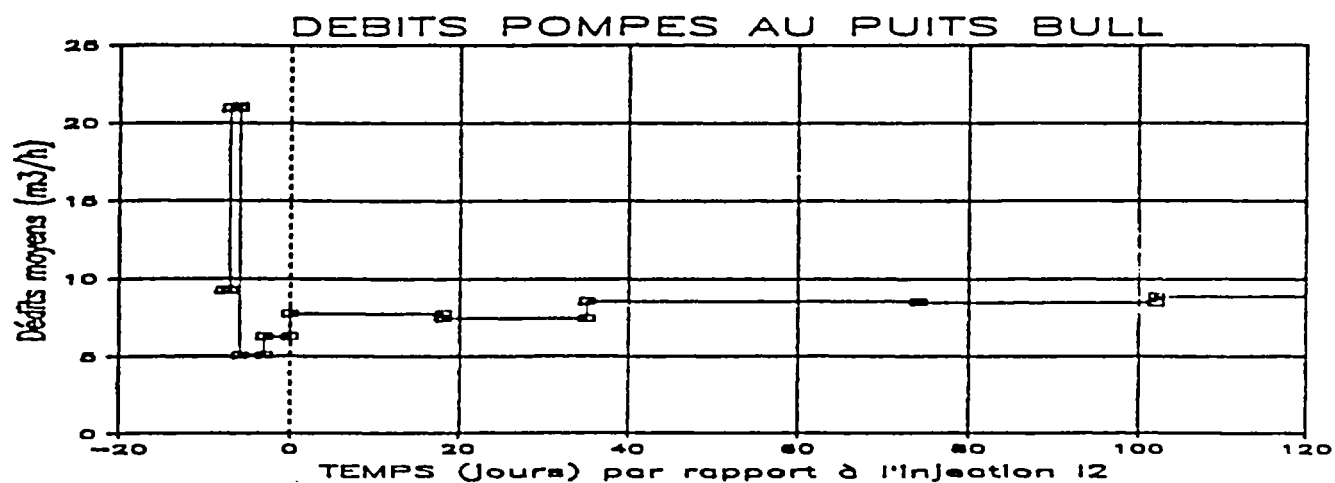
Les paramètres hydrodispersifs du milieu ont été recherchés à partir d'un calage d'une courbe théorique sur les points expérimentaux (cf. annexe 5.2). On en déduit une porosité cinématique de l'ordre de 17% et une dispersion longitudinale de 8m. Il est intéressant de constater que ces paramètres sont très proches de ceux calculés à l'occasion du traçage I1, dont la distance d'injection n'était que de 20m. La concordance de ces valeurs attestent une bonne fiabilité des résultats.

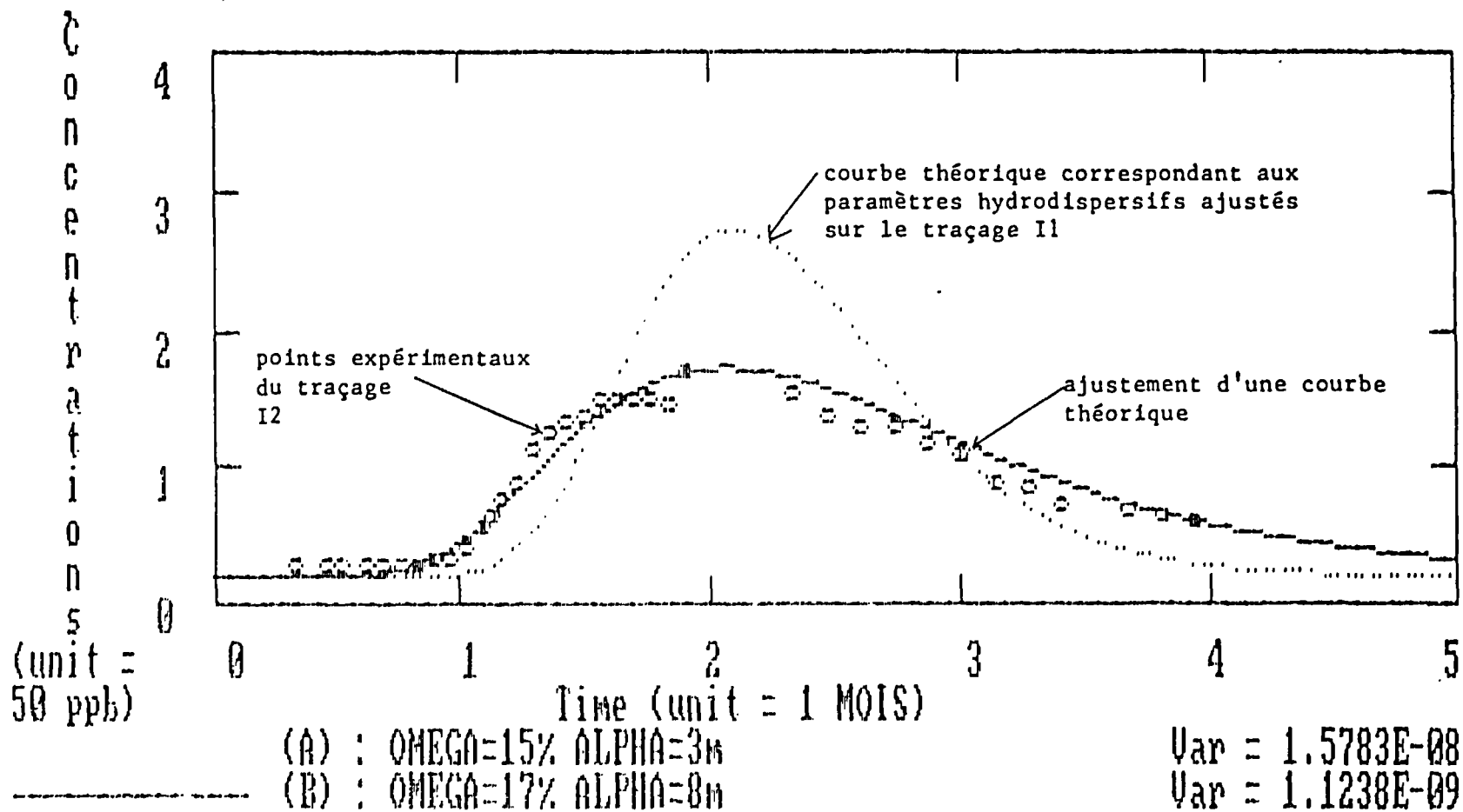
RESTITUTION DU TRACEUR AU PUIT BULL

(injection I2 en PZ1 le 09/02/89 à 12h.)



← Rest. I1 ——— Restitution du traçage I2 ———→





EXEMPLE 2 :

TRACAGE DANS LA NAPPE ALLUVIALE DE DIJON SUD
MODELISATION DE POLLUTION POTENTIELLE EN PROVENANCE D'UNE AUTOROUTE

Client : Scetauroute Dijon

Prix de vente du traçage (hors équipement piézométrique) : 90 KF

Finalité :

Déterminer les caractéristiques hydrodispersives de la nappe, y compris la dispersion transversale, pour modéliser des scénarios de pollutions potentielles en provenance d'une autoroute.

Expérimentation et résultats (cf. extrait du rapport BRGM R 30995)

Traçage en écoulement naturel avec suivi de la restitution sur plusieurs piézomètres. Première injection d'iodure de sodium suivi de deux injections de traceurs fluorescents (uranine et rhodamine B). La restitution de l'iodure de sodium a permis de déterminer les caractéristiques hydrodispersives de la nappe ; à l'inverse les traceurs fluorescents ont été trop fortement adsorbés par le terrain pour pouvoir être interprétés.

Commentaires :

- Les résultats ont mis en évidence une dispersion latérale très faible (0.3 m). Celle-ci avait été surestimée au moment des calculs prévisionnels établis pour définir le maillage et la fréquence des analyses à effectuer. En conséquence, la première série d'analyses d'iodure n'avait pas permis de déceler le passage du traceur. Ce n'est que dans un stade ultérieur que des analyses complémentaires sur les échantillons disponibles ont mis en évidence la restitution de l'iodure.
- Cette opération a été réalisée avec le concours d'un stagiaire dans le cadre d'un stage de DESS. Malgré cette aide indispensable, le suivi manuel sur de nombreux piézomètres reste une opération lourde à gérer, sans commune mesure avec une expérimentation en écoulement radial convergent.

INJECTION LE 26/6/89 A 14H30 SUR LE PIEZO 56

TRACEUR UTILISE : IODURE DE SODIUM (4KG)

32625.00: JOUR DE REFERENCE POUR INJECTION

783014.50: HEURE DE REFERENCE POUR INJECTION

POMPAGE DANS 56 POUR HOMOGENEISER LA SOLUTION SUR TOUTE LA COLONNE D'INJECTION

TEMPS DE POMPAGE

LE 26/06 DE 14H30 à 16H30 PUIS DE 17H15 à 18H00

LE 27/06 DE 08H15 à 09H15 PUIS DE 14H00 à 14H05

LE 28/06 DE 08H10 à 08H15

CALCUL DU TAUX DE TRACEUR PARTI DU PIEZOMETRE 56

CONTROLE DE L'EVACUATION DU TRACEUR

Piezomètre d'injection : 56

DATE	HEURE	TEMPS (h)	TEMPS (j)	COND. (µS/cm)
26/ 6/89	14.50	.00	.00	667.00
26/ 6/89	14.75	.25	.01	4000.00
26/ 6/89	17.33	2.83	.12	842.00
26/ 6/89	18.00	3.50	.15	869.00
27/ 6/89	8.50	18.00	.75	704.00
27/ 6/89	8.75	18.25	.76	685.00
27/ 6/89	9.00	18.50	.77	691.00
27/ 6/89	14.00	23.50	.98	690.00
28/ 6/89	8.25	41.75	1.74	660.00

VOLUME D'EAU DU PIEZOMETRE

DIAM. INT. DE LA CREPINE=113mm

VOL=PI*10,0561E1P2*15=150 LITRES

QUANTITE DE TRACEUR RESIDUEL LE 26/06/89

Co=980 ppb

QTE=150*980 microgrammes

QTE=147mg

QTE=0,1g

ECHANTILLONNAGE dernière mise à jour le : 12/ 7/90

D'UN DEPART DE LA TOTALITE DU TRACEUR

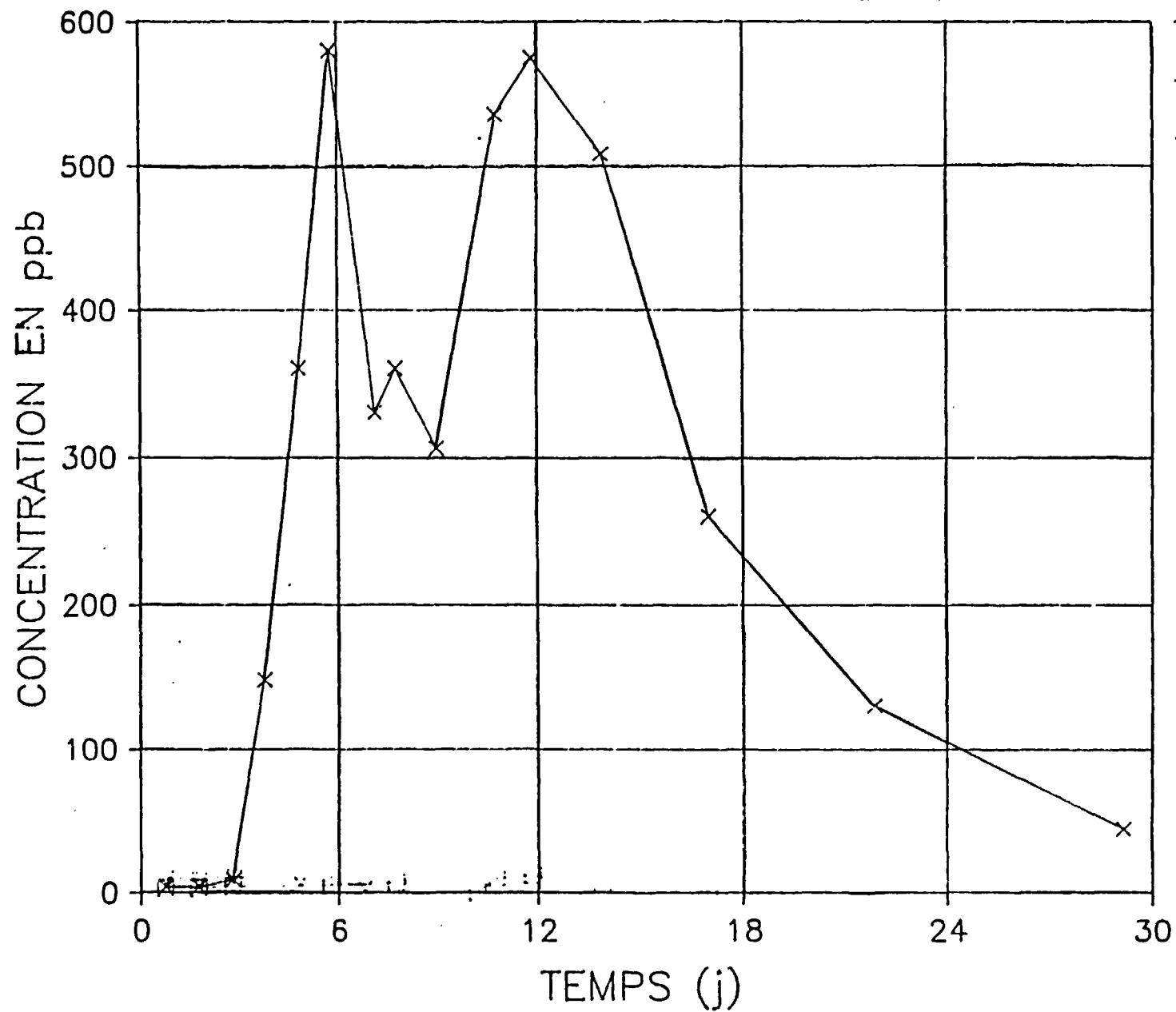
TOTAL ECHANTILLONS PRELEVES : N/D

TOTAL ECHANTILLONS PAR PIEZOMETRE : N/D N/D N/D N/D N/D N/D N/D N/D N/D N/D

DATE DU PRELEVEMENT	HEURE	TEMPS (h) / INJEC.	TEMPS (j) / INJEC.	C3	B7	C2	C1	B6	S5	S6	A2	A9
26/ 6/89	14.50	.00	.00	N/D	N/D	N/D	N/D	N/D	N/D	N/D	N/D	
27/ 6/89	9.00	18.50	.77	13.00	6.00	3.00	4.00	6.00	10.00			
27/ 6/89	14.00	23.50	.98	N/D	15.00	N/D	N/D	N/D	N/D	2100.00	5.00	
27/ 6/89	21.00	30.50	1.27	N/D	4.00	N/D	N/D	N/D	N/D			
28/ 6/89	9.00	42.50	1.77	N/D	4.00	3.00	4.00	5.00	9.00	980.00		
28/ 6/89	14.50	49.00	2.00	N/D	5.00	N/D	N/D	N/D	N/D		3.00	5.00
28/ 6/89	21.25	54.75	2.28	N/D	11.00	N/D	N/D	N/D	N/D			
29/ 6/89	10.00	67.50	2.81	N/D	6.00	4.00	9.00	7.00	11.00			
29/ 6/89	15.50	73.00	3.04	N/D	N/D	N/D	N/D	N/D	N/D		3.00	8.00
29/ 6/89	23.00	80.50	3.35	N/D	N/D	N/D	N/D	N/D	N/D			
30/ 6/89	9.00	90.50	3.77	N/D	5.00	N/D	148.00	7.00	N/D			
30/ 6/89	16.00	97.50	4.06	N/D	N/D	N/D	N/D	N/D	N/D		N/D	12.00
1/ 7/89	10.00	115.50	4.81	N/D	26.00	N/D	360.00	8.00	9.00		N/D	
1/ 7/89	17.00	122.50	5.10	N/D	N/D	N/D	N/D	N/D	N/D			
2/ 7/89	9.00	138.50	5.77	N/D	4.00	5.00	580.00	15.00	N/D		N/D	13.00
2/ 7/89	19.00	148.50	6.19	N/D	N/D	N/D	N/D	N/D	N/D			
3/ 7/89	10.00	163.50	6.81	N/D	6.00	N/D	N/D	20.00	5.00		N/D	15.00
3/ 7/89	18.00	171.50	7.15	N/D	N/D	N/D	330.00	N/D	N/D			
4/ 7/89	9.00	186.50	7.77	N/D	4.00	7.00	360.00	18.00	N/D		N/D	16.00
4/ 7/89	18.00	195.50	8.15	N/D	N/D	N/D	N/D	N/D	N/D			
5/ 7/89	14.50	216.00	9.00	N/D	3.00	N/D	306.00	19.00	N/D		N/D	15.00
6/ 7/89	11.50	237.00	9.88	N/D	N/D	N/D	N/D	N/D	N/D		N/D	14.00
6/ 7/89	19.50	245.00	10.21	N/D	3.00	.00	N/D	N/D	N/D			
7/ 7/89	9.00	258.50	10.77	N/D	N/D	19.00	536.00	N/D	N/D		N/D	N/D
8/ 7/89	11.00	284.50	11.85	N/D	3.00	12.00	575.00	20.00	N/D		N/D	14.00
10/ 7/89	11.50	333.00	13.88	N/D	3.00	.00	508.00	N/D	N/D			11.00
10/ 7/89	15.00	336.50	14.02								N/D	
11/ 7/89	10.50	356.00	14.83	N/D	N/D	N/D	N/D	N/D	N/D		N/D	11.00
12/ 7/89	11.50	381.00	15.86	N/D	5.00	N/D	N/D	N/D	N/D		N/D	N/D
13/ 7/89	14.50	408.00	17.00			.00	260.00	33.00	N/D		N/D	N/D
13/ 7/89	15.00	406.50	17.02	N/D	N/D							
17/ 7/89	15.50	505.00	21.04			N/D	N/D	N/D	N/D		N/D	10.00
17/ 7/89	16.00	505.50	21.06	N/D	3.00			N/D	N/D			
18/ 7/89	11.50	525.00	21.88			N/D	130.00	32.00	N/D		N/D	12.00
18/ 7/89	11.75	525.25	21.89	N/D	N/D							
19/ 7/89	16.75	554.25	23.99	N/D	N/D	N/D	N/D	N/D	N/D		N/D	10.00
21/ 7/89	15.00	600.50	25.02	N/D	N/D	N/D	N/D	N/D	N/D		N/D	9.00
25/ 7/89	18.00	699.50	29.15	N/D			44.00					

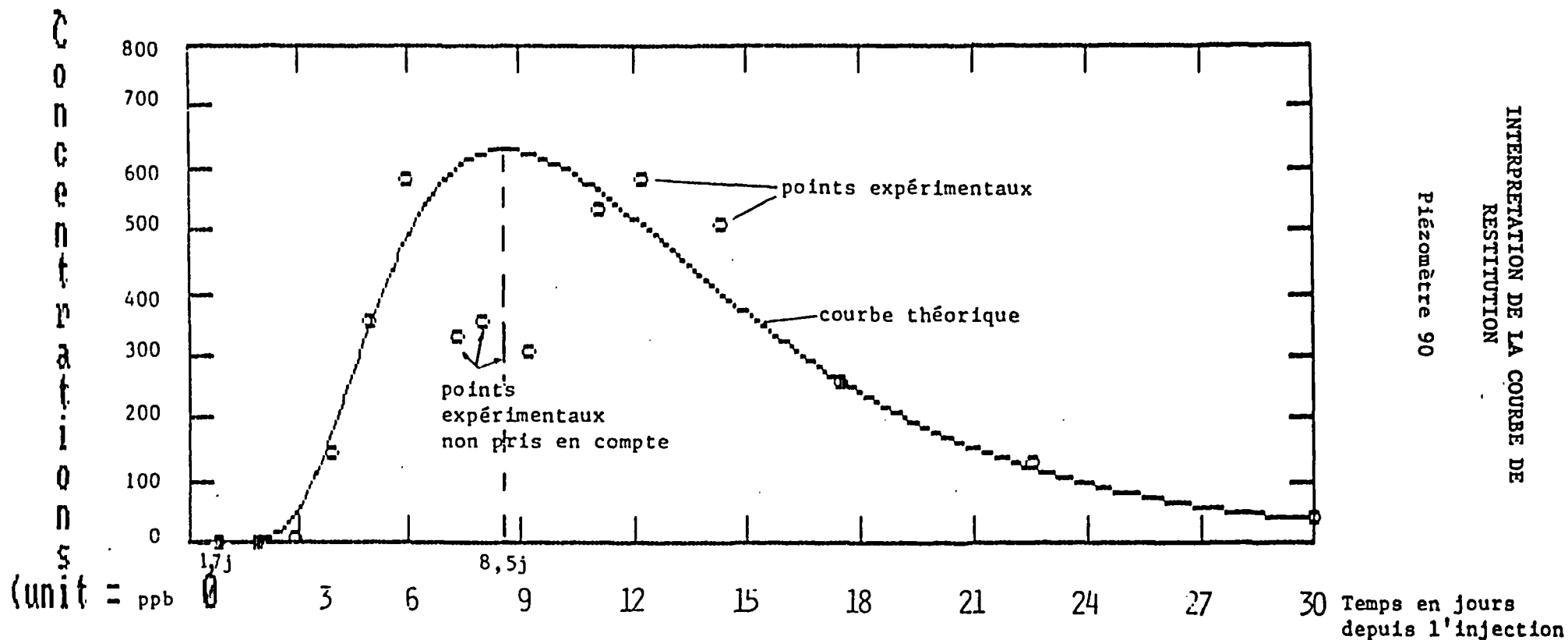
TRACAGE A31 N°1

IODURE DE SODIUM



COURBE DE RESTITUTION

Concentration en
iodure de sodium

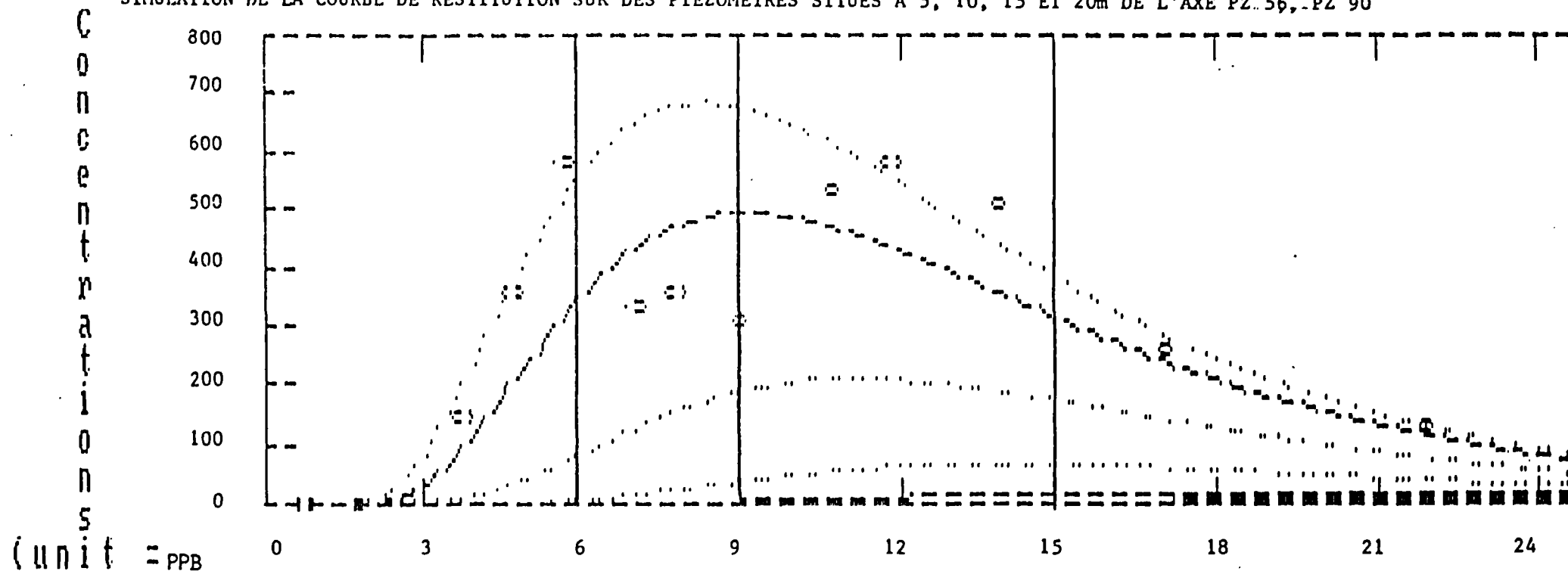


Piezomètre 90

INTERPRETATION DE LA COURBE DE
RESTITUTION

(H) : OM=0.16 ALPHAL=11.3 ALPHAT=.3 REST=35% Var = 2.7112E-07

SIMULATION DE LA COURBE DE RESTITUTION SUR DES PIEZOMETRES SITUES A 5, 10, 15 ET 20m DE L'AXE PZ 56, PZ 90

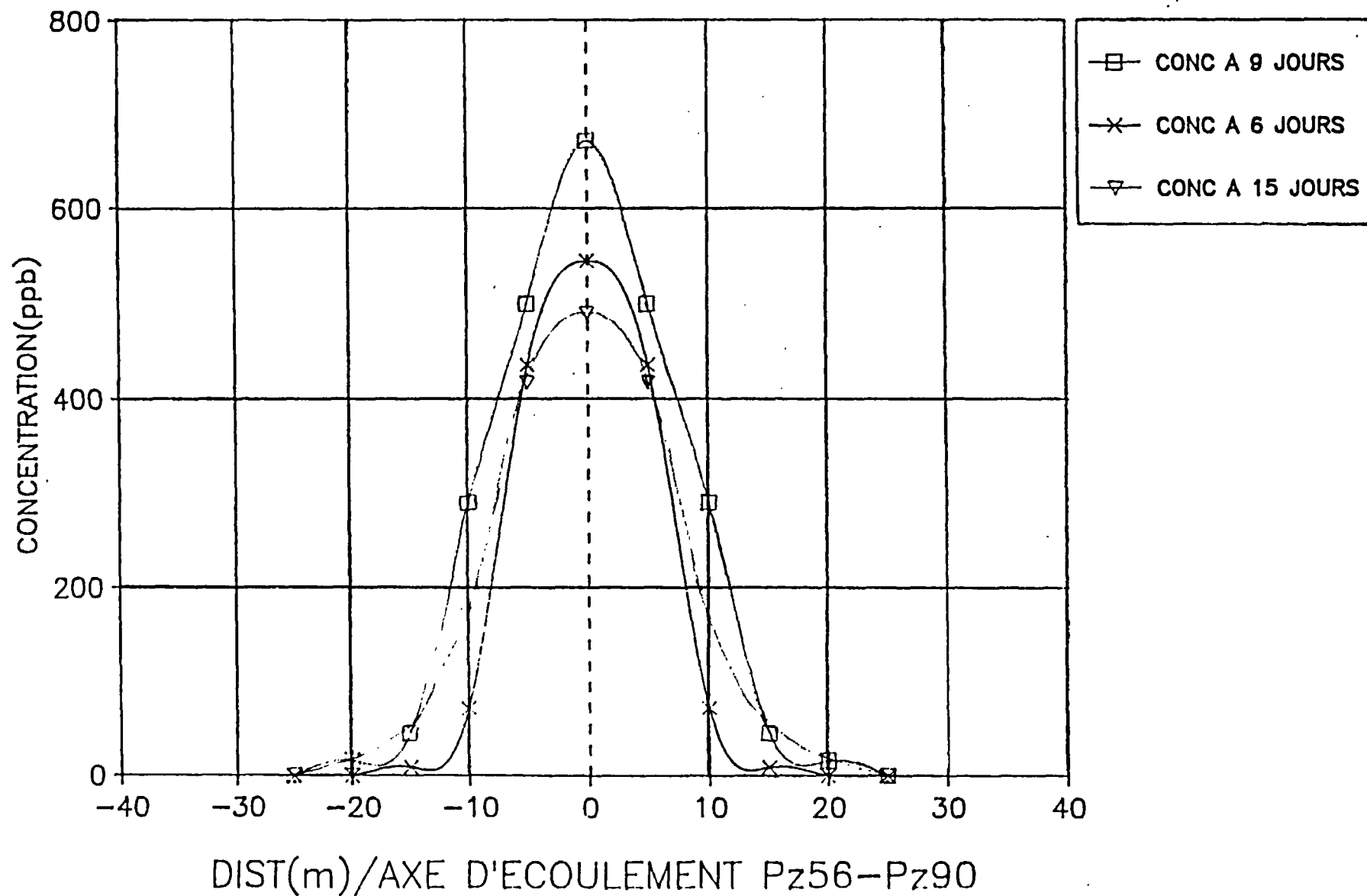


Time (unit = 3 JOURS)

(A)	:	AL=11.3	AT=.3	OM=.16	REST=38%	PZ90 (80,0)
(B)	:	IDEM	PZ	55B(80,10)		
(C)	:	IDEM	PZ	55A(80,25)		
(D)	:	IDEM	PZ	(80,5)		
(E)	:	IDEM	PZ	(80,15)		
(F)	:	IDEM	PZ	(80,20)		

Panache transversal des concentrations calculées

$\Omega=16\%$, $\alpha_L=11.3$ m, $\alpha_T=0.3$ m



EXEMPLE 3 :

TRACAGE DANS UNE NAPPE DE LA CRAIE FISSUREE
ETABLISSEMENT DE PERIMETRES DE PROTECTION

Client : Scetauroute Troyes

Prix de vente du traçage (hors équipement piézométrique) : 40 KF

Finalité :

Définition de périmètres de protection en rapport avec le passage d'une autoroute.

Expérimentation et résultats (cf. extraits rapport BRGM R 30768)

Réalisation d'un traçage double (iodure de sodium et fluorescine) en écoulement radial convergent induit par pompage.

Le débit de pompage au moment de l'expérimentation n'étant pas celui de l'exploitation, les vitesses de propagation d'une pollution ont ensuite été recalculées pour le débit réel d'exploitation à partir des paramètres hydrodispersifs définis par le traçage.

Commentaires :

- Dans ce milieu, la restitution de la fluorescine est assez similaire à celle de l'iodure de sodium.
- Les résultats au puits de pompage ont été tout à fait conformes aux calculs prévisionnels.
- Ce traçage a été couplé à un pompage d'essai vendu dans le cadre de cette même étude, ce qui permet d'optimiser grandement les coûts réels de l'opération.

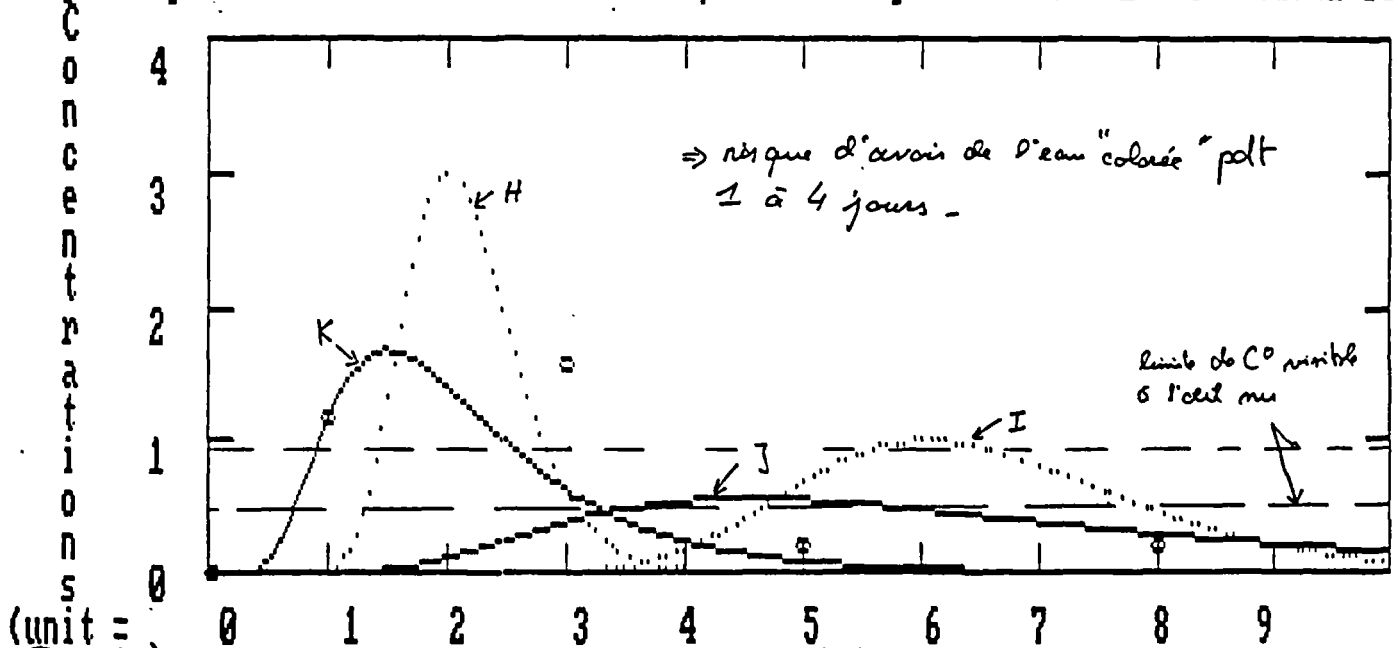
Traçage ESTISSAC : exemple de calcul prévisionnel avant traçage

12 Feb 1990 16:22

ESTISSAC SIMULATION FLUO

F1

Computed peak CI 1.296E+05] = 8.384E-05 ; observed peak CI 1.728E+05] = 3.000E-04



..... (H) :	OMEGA=0.05	ALPHA=1	FLUO =0.500KG	REND=0.6	Var = 2.8556E-08
..... (I) :	OMEGA=0.15	ALPHA=1			Var = 1.0072E-07
..... (J) :	OMEGA=0.15	ALPHA=5			Var = 9.4471E-08
..... (K) :	OMEGA=0.05	ALPHA=5			Var = 5.4760E-08

Next move : PgUp = Modify parameters F2 = Main menu

Parameters for Radially converging flow * Dirac * 1 site * Approximation 12 Feb 1990 16:18

Transfer parameters		Exchange parameters	
X Longit. distance	4.000E+01 m	F Recovery factor	6.000E-01
		L Decay factor	0.000E+00 /s
m Mass injected tracer	5.000E-01 kg		
Q Production flow rate	2.000E-02 m3/s		
Ω Kinematic porosity	5.000E-02		
αL Longit. dispersivity	1.000E+00 m		
h Aquifer thickness	1.500E+01 m	Di Initial delay	0.000E+00 s
		Ci Initial noise	0.000E+00 kg/m3

2.1.3 - Réalisation du traçage

Injection

Le traçage s'est effectué le 14/02/90 à 18h30 par une double injection dans le piézomètre PZA afin de définir les vitesses de circulation dans la nappe et les paramètres hydrodispersifs du milieu.

Les deux traceurs utilisés étaient :

- 750 g d'iodure de sodium (suivi des ions I⁻, soit 640g d'I⁻ injecté) ;
- 500 g de fluorescéine.

Afin d'homogénéiser la solution, l'injection s'est accompagnée d'un pompage en circuit fermé pendant deux heures.

Surveillance

Ce traçage a été réalisé dans des conditions d'écoulement radial convergent créés par le pompage sur le puits du Bétrot de la commune d'Estissac ;

La restitution du traceur a été suivie sur le PZB et sur le puits situé respectivement à 15 et 40m du point d'injection par des préleveurs automatiques. La durée totale de la surveillance de cette restitution fut de 108 h avec une fréquence d'échantillonnage de 1h30 sur les premières 24 h, puis fixée à 2h. Des prélèvements manuels sur le piézomètre d'injection ont permis de s'assurer de la bonne évacuation du traceur dans l'aquifère.

2.2.4 - Résultats et interprétation du traçage

* Résultat

La courbe de restitution de l'iodure de sodium observée sur le puits est présentée en annexe 5.1.

Cette courbe montre un aspect régulier unimodal avec un pic apparaissant au bout d'un jour et demi. Le taux de restitution du traceur a été calculé par intégration du flux d'iodure mesuré, en fonction du temps, sur les 6 jours de la restitution du traceur. Il est de l'ordre de 25%. Ce taux est jugé satisfaisant étant donné l'éloignement entre le point d'injection (PZA) et le point d'observation (puits situé à 40m). Il atteste d'une bonne représentativité de l'expérimentation.

La courbe de restitution de l'uranine (annexe 5.2) donne des résultats similaires : courbe régulière unimodale présentant un pic au bout de 30h environ.

*** Interprétation**

Bien que les courbes de restitution des 2 traceurs soient très voisines l'une de l'autre, l'interprétation des résultats sera effectuée sur l'iodure de sodium qui est considéré meilleur traceur que l'uranine.

- Paramètres hydrodispersifs de l'aquifère

Les paramètres hydrodispersifs de l'aquifère (porosité cinématique et coefficient de dispersion longitudinal) ont été calculés à l'aide du logiciel CATTI (computer assisted interpretation of field tracer tests), développé au BRGM.

Une courbe théorique a pu être parfaitement calée avec les points expérimentaux. Ce calage retenu est présenté en annexe 5.3. Il aboutit aux valeurs des paramètres suivants :

- . porosité cinématique (w) = 7%
- . coefficient de dispersion longitudinal (α_L) = 6,2 m

Ces paramètres hydrodispersifs, caractéristiques de l'aquifère, seront utilisés pour les simulations de restitution de l'iodure de sodium pour un débit de pompage de 36 m³/h (débit actuel d'utilisation) et pour le calcul des isochrones.

- Vitesse de circulation de l'eau

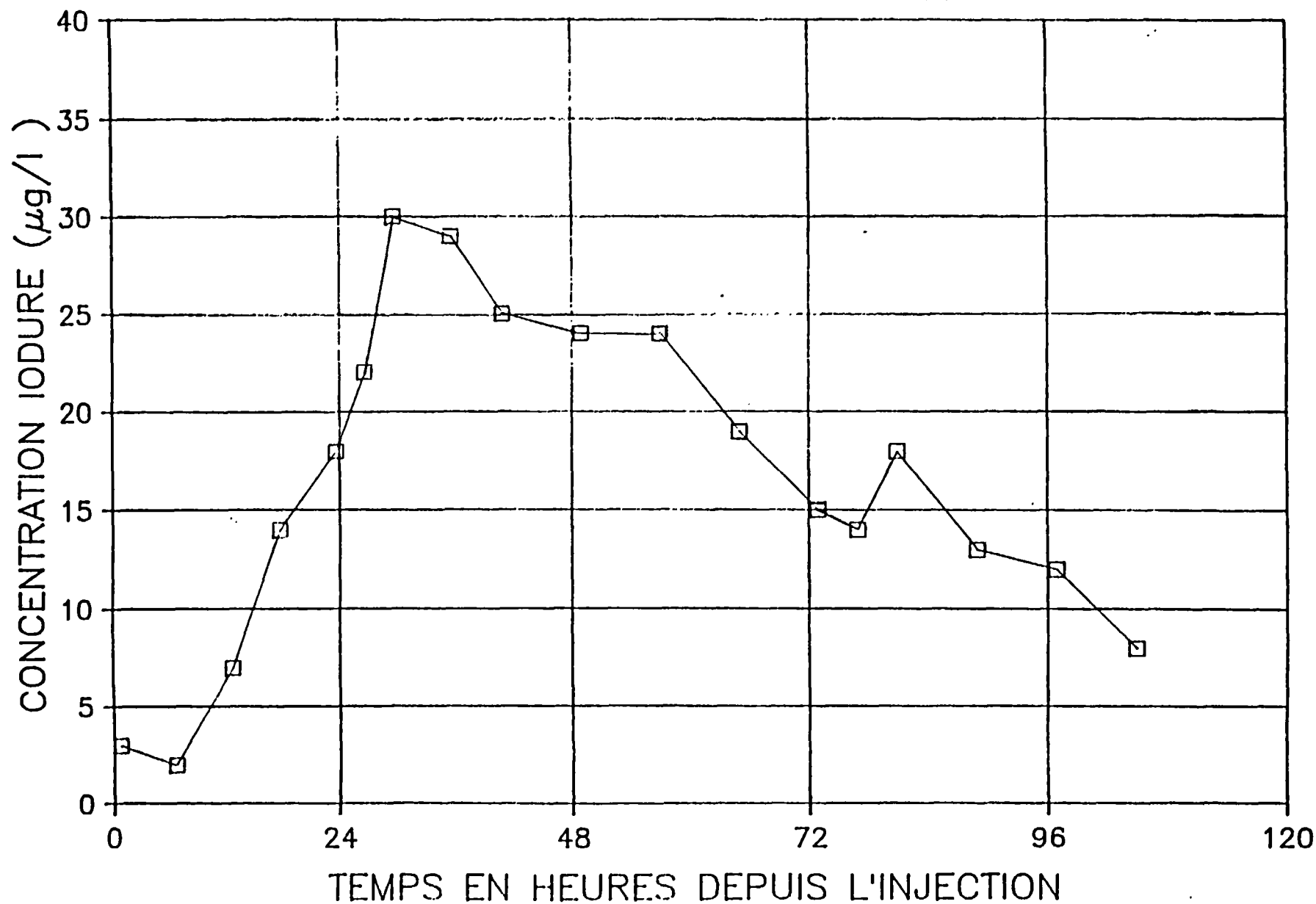
Le pic de la courbe de restitution (cf. annexe 5.3) apparaît 36 h après l'injection. Les particules les plus rapides arrivent quant à elles au bout de 7 h.

En conséquence, pour les conditions hydrauliques de l'essai (écoulement radial convergent avec un débit d'exploitation de 110 m³/h), la vitesse modale de déplacement du traceur est de l'ordre de 26 m/j et la vitesse de déplacement des particules les plus rapides est de 130 m/j.

La détermination des paramètres hydrodispersifs de l'aquifère autorise une simulation de la courbe de restitution pour un débit pompé de 36 m³/h au puits P1, débit normal d'utilisation (cf. annexe 5.4). Dans ces conditions hydrauliques, la vitesse modale de déplacement du traceur est réduite à 8,5 m/j et la vitesse des particules les plus rapides à 46 m/j.

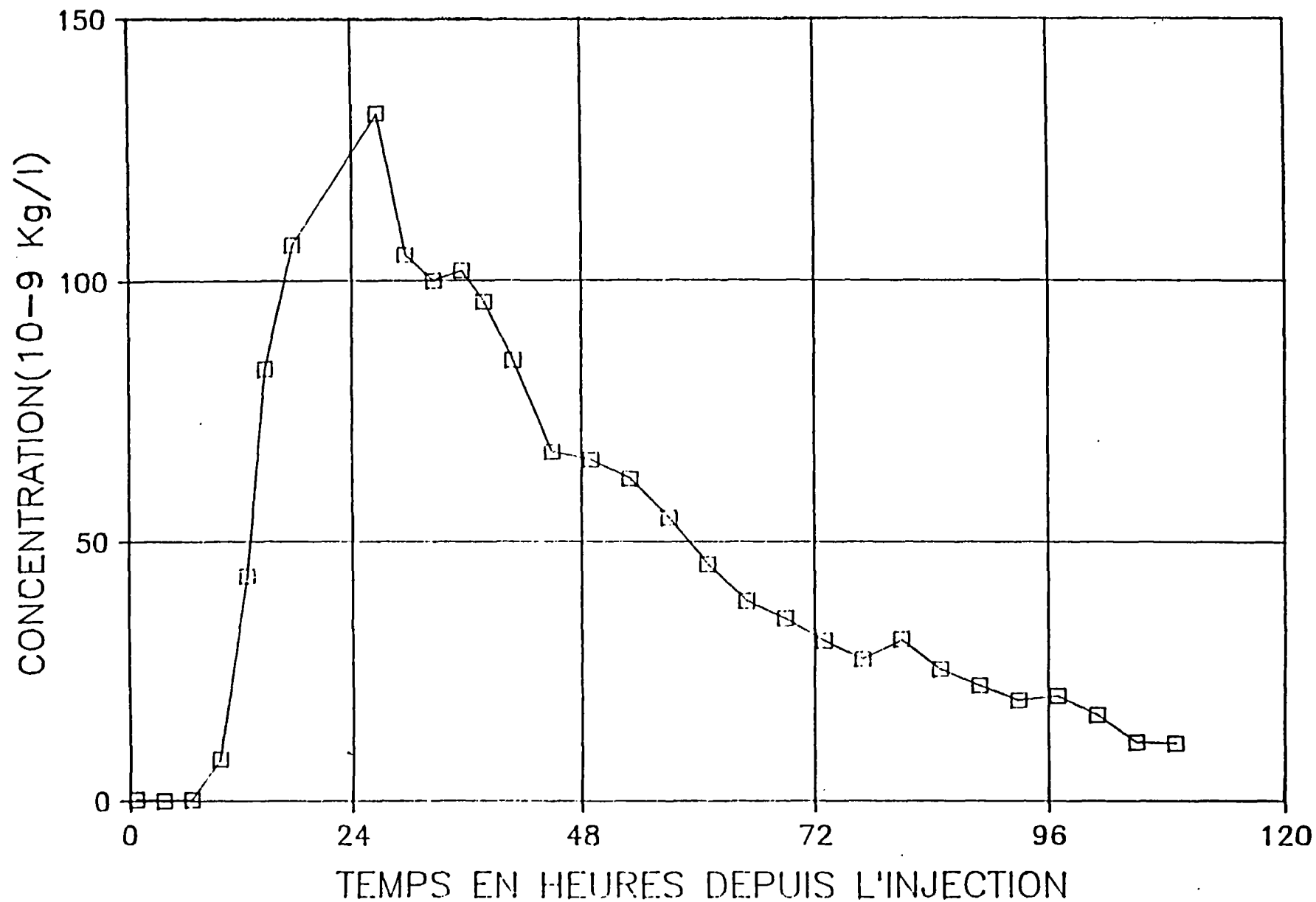
COURBE DE RESTITUTION AU PUIT

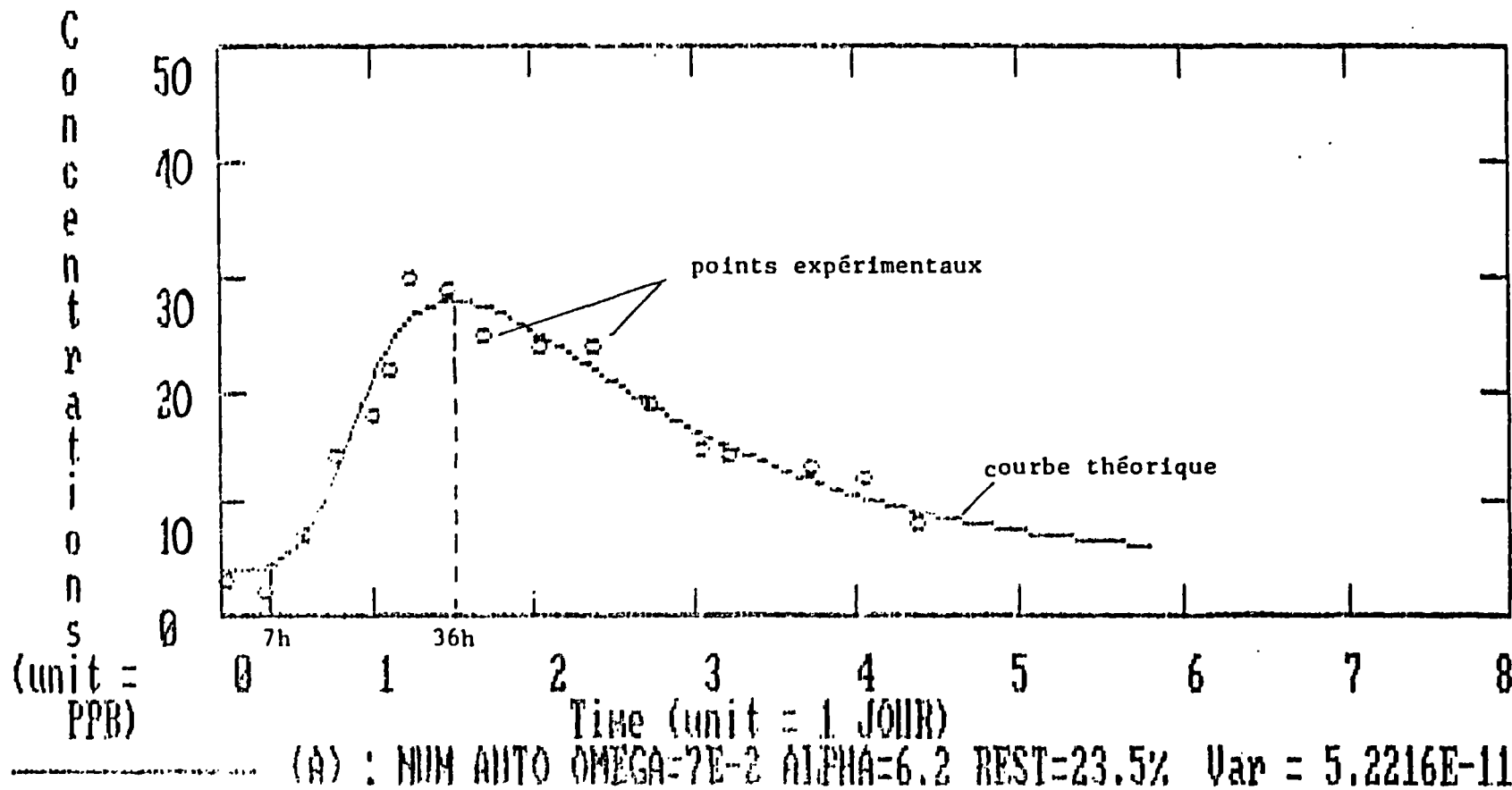
TRACEUR: IODURE DE SODIUM



COURBE DE RESTITUTION AU PUITS

TRACEUR: URANINE





SIMULATION DE LA COURBE DE RESTITUTION DE L'IODURE DE SODIUM
POUR UN DEBIT DE 36 M3/H

